



ارائه مدل جامع برای محاسبه بارهای آبرو دینامیک ناپایای تراکم ناپذیر - تراکم پذیر زیر صوت با استفاده از توابع اندیسی

مهندی نجاتی^۱, سعید شکراللهی^{۲*}, شاهرخ شمس^۳

۱- دانشجوی دکتری، مهندسی هوافضا، دانشگاه صنعتی مالک اشتر، تهران

۲- استادیار، مهندسی مکانیک، دانشگاه صنعتی مالک اشتر، تهران

۳- استادیار، مهندسی هوافضا، دانشگاه تهران، تهران

* تهران، ۱۶۷۸۸۱۵۶۱۱ s_shokrollahi@mut.ac.ir

چکیده

برای محاسبه بارهای آبرو دینامیکی ناپایای در جریان های تراکم ناپذیر و تراکم پذیر زیر صوت با استفاده از مفهوم توابع اندیسی مدل جدیدی ارائه می شود. توابع اندیسی، یعنی بارهای آبرو دینامیکی یک بالواره، ناشی از تغییر پله در زاویه حمله و نرخ پیچش می باشند. برای تعیین بارهای آبرو دینامیکی در جریان تراکم ناپذیر وجود یک تابع اندیسی کفایت می نماید، در حالی که برای توصیف آنها در جریان تراکم پذیر به چهار تابع اندیسی مستقل نیاز است. در صورت مشخص بودن توابع اندیسی می توان با استفاده از اصل جمع آثار پاسخ های این توابع و انتگرال دوهامل، بارهای آبرو دینامیکی ناپایای یک بالواره در حرکتی دلخواه را تعیین کرد. با هدف یکپارچه سازی روابط آبرو دینامیک برای همه محدوده های جریان زیر صوت یعنی بازه ماخ صفر تا ماخ ۰.۸، تقریبی جدید و کارآمد از توابع اندیسی با استفاده از عبارت های تحلیلی و داده های عددی موجود در ارائه می شود، که علاوه بر تابعیت پیوسته از عدد ماخ دارای شکل مناسبی برای انتقال آنها به سایر نقاط روزی بالواره می باشد. با کاهش ضرائب تابع عدد ماخ از ۷ به ۴ در توابع اندیسی متداول، تعداد ضرایب لازم برای توصیف کامل بارهای آبرو دینامیکی از ۲۸ به ۱۶ تقلیل می یابد. سپس، با بهره گیری از این توابع اندیسی، نمایشی نوین و مناسب مسائل آبرو لاستیک از بارهای آبرو دینامیک در محدوده جریان های تراکم ناپذیر و تراکم پذیر زیر صوت توسعه داده می شود. همچنین بر اساس تئوری تواری و اصلاح شب منحنی برآ مدل آبرو دینامیک مذکور برای بال س بعدی تعمیم می یابد. به منظور اعتبار سنجی مدل آبرو دینامیکی، نمودارهای توابع اندیسی توسعه یافته با نمودارهای موجود در سایر مراجع در اعداد ماخ مختلف مقایسه و مطابقت خوبی بین آنها مشاهده می شود.

اطلاعات مقاله

مقاله پژوهشی کامل

دریافت: ۱۸ مهر ۱۳۹۵

پذیرش: ۱۰ دی ۱۳۹۵

ارائه در سایت: ۲۸ دی ۱۳۹۵

کلید واژگان:

بارهای آبرو دینامیکی ناپایای

جریان تراکم ناپذیر / تراکم پذیر مادون صوت

توابع آبرو دینامیک اندیسی

A comprehensive model to compute incompressible-subsonic compressible unsteady aerodynamic loads using indicial functions

Mahdi Nejati¹, Saeed Shokrollahi^{1*}, Shahrokh Shams²

1- Department of Aerospace Engineering, Malek-Ashtar University of Technology, Tehran, Iran.

2- Department of Aerospace Engineering, Faculty of New Sciences and Technologies, University of Tehran, Tehran, Iran.

* P.O.B. 1678815611 Tehran, Iran, s_shokrollahi@mut.ac.ir

ARTICLE INFORMATION

Original Research Paper
Received 09 October 2016
Accepted 30 December 2016
Available Online 17 January 2017

Keywords:

Unsteady aerodynamic loads
Incompressible/subsonic compressible flow
Indicial aerodynamic functions

ABSTRACT

In this paper, a novel model based on the indicial functions concept is presented to calculate the unsteady aerodynamic loads in the incompressible and subsonic compressible flow. Indicial functions represent the two-dimensional airfoil response to a unit step change in the angle of attack or the pitch rate about the reference axis. In contrast to the incompressible flow where the aerodynamic loads can be determined in terms of a single indicial function, four indicial aerodynamic functions are required to find them in the compressible one. If the indicial functions are known, the unsteady loads can then be obtained through the superposition of indicial responses using Duhamel's integral for any arbitrary motion. For the purpose of combining the aerodynamic loads for the entire subsonic flow speed range, i.e. $0 \leq M \leq 0.8$, new, efficient and Mach dependent approximations of the indicial functions are presented by using the analytical as well as numerical data. Using four instead of seven Mach dependent coefficients in the common indicial functions, the required coefficient are decreased from 28 to 16 to fully describe the aerodynamic loads. Utilizing the indicial functions, a novel and convenient form of unsteady aerodynamic loads and the corresponding state-space representation are presented, having a unified formulation in incompressible and subsonic compressible flight speed regimes. Based on the strip theory as well as the modified lift curve slope, the finite span effect of 3D wings is also included. The generated indicial functions are validated against available results, which shows a good agreement.

1- مقدمه

برای ارجاع به این مقاله از عبارت ذیل استفاده نمایید:

M. Nejati, S. Shokrollahi, Sh. Shams, A comprehensive model to compute incompressible-subsonic compressible unsteady aerodynamic loads using indicial functions, *Modares Mechanical Engineering*, Vol. 17, No. 1, pp. 353-364, 2017 (in Persian)

[7]. این رویکرد علاوه بر ارائه فرمولاسیون آیروдинامیکی یکتا در جریان‌های تراکم پذیر و ناپذیر، می‌تواند ابزار مناسبی برای تحلیل مسائل آیروالاستیک در حوزه زمان و فرکانس باشد. برای مسائل تحلیل پایداری در جریان تراکم پذیر می‌توان با فرایندی مشابه مبتنی بر توسعه توابع تئودورسن از توابع اندیسی حوزه زمان استفاده نمود. این فرایند با به کار گیری تبدیلات لاپلاس امکان پذیر می‌باشد. روش‌های مبتنی بر توابع اندیسی برای بالواره دو بعدی توسعه داده شده‌اند. با اینحال با استفاده از آیرودينامیک تئوری نوار اصلاح شده و لحاظ نمودن اثرات نسبت منظری بال، سوئیپ و شیب منحنی برآ می‌توان آنرا به مسائل سه بعدی نیز تعیین داد [8,4]. مازلسکی [10,9] و مازلسکی و دریشل [11] با استفاده از داده‌های دایت و ارتباط متقابل میان نیروی برآی آیرودينامیکی روی بالواره نوسانی در جریان تراکم‌پذیر مادون صوت و پاسخ اندیسی توائستند توابع پاسخ اندیسی تقریبی به شکل نمایی شامل چهار جمله برای اعداد ماخ 0.5، 0.6 و 0.7 را بدست آوردند. لومکس [3] نتایج تحلیلی دقیقی برای پاسخ اندیسی ایجاد شده ناشی از تغییر پله در زاویه حمله و نرخ پیچش در جریان تراکم پذیر مادون صوت را در بازه زمانی محدود ارائه نمود. داول [12] با رویکردی مشابه مازلسکی، با استفاده از آیرودينامیک حوزه فرکانس و به طور مستقیم نمایش حوزه زمان پاسخ اندیسی را به شکل مجموعی از توابع نمایی برای جریان‌های تراکم‌ناپذیر و تراکم‌پذیر مادون صوت ارائه نمود. لیشمان [1] با تفکیک پاسخ‌های نیروی برآ و گشتاور اندیسی به دو مؤلفه غیرچرخشی و چرخشی، پاسخ اندیسی کل به تغییرات پله واحد در زاویه حمله و نرخ پیچش در جریان تراکم‌ناپذیر که حسب توابع نمایی شامل سه جمله تقریب زد. برخلاف رویکرد تراکم‌ناپذیر که مقدار اولیه پاسخ ضربه با استفاده از ملاحظات جرم ظاهری تعیین می‌گردد، مقدار اولیه پاسخ ضربه با استفاده از توابع اندیسی می‌آید. این مقدار متناظر با بخش غیر چرخشی، به سرعت با زمان از بین می‌رود در حالیکه بخش چرخشی جریان خیلی سریع تا مقدار حالت پایا رشد می‌نماید. لیشمان در ادامه با استفاده از توابع اندیسی آیرودينامیکی، نمایش فضای حالت بارهای ناپایای به واسطه نیروی دلخواه را برای استفاده در تحلیل‌های آیروالاستیک ارائه نمود [13]. انگیزه اصلی استفاده از تکنیک فضای حالت افزودن معادلات دیفرانسیل معمولی مرتبه اول توصیف کننده آیرودينامیک ناپایای به معادلات دینامیک سازه‌ای حاکم بر حرکت بالواره و سپس تحلیل پایداری سیستم آیروالاستیک حاصله با استفاده از رویکرد تحلیل مقدار ویژه یا انترگال گیری زمانی می‌باشد. ارائه دقیق پاسخ اندیسی مستلزم وجود پاسخ آیرودينامیک روی محدوده وسیعی از فرکانس‌های کاهش یافته است. به دلیل مشکلات خاصی که در استخراج پاسخ اندیسی از داده‌های آزمایشگاهی برای فرکانس‌های کاهش یافته بالا مطرح بودند، رویکرد دیگری برای ارائه تقریب‌های تعیین‌یافته از پاسخ اندیسی مادون صوت با استفاده از داده‌های تجربی و به کمک حل‌های دقیق توسط لیشمان ارائه شد [6]. گرچه او از این رویکرد برای ارائه پاسخ نیروی برآی اندیسی به واسطه زاویه حمله و نرخ پیچش استفاده نموده است، اما به صورت مشابه‌ای می‌توان پاسخ گشتاور اندیسی متناظر را نیز بدست آورد. با استفاده از مفهوم تابع اندیسی، لیشمان [14] تاثیر حرکت دلخواه فلپ لبه فرار را نیز بر نیروی برآی ناپایای یک بالواره در جریان تراکم‌پذیر مادون صوت بررسی نمود. مارزوکا و همکاران [16,15] توابع اندیسی و بارهای آیرودينامیک متفاوتی در محدوده‌های سرعت پروازی تراکم‌پذیر مادون صوت بررسی نمود. مارزوکا و همکاران ابرصوتی در دو حوزه زمان و فرکانس سازگار با تحلیل‌های آیروالاستیک

موضوع کلیدی برای تحلیل آیروالاستیسیته موفق، مدل‌سازی صحیح و کارآمد بارهای آیرودينامیکی ناپایای در حرکت یا تغییر شکل جسم آیرودينامیکی می‌باشد. بارهای آیرودينامیکی را می‌توان بر مبنای انواع مختلف از تئوری‌های آیرودينامیکی از قبیل تئوری نواری، روش شبکه گردانی ناپایای¹، تئوری پاسخ اندیسی² و تکنیک‌های مدرن آیرودينامیکی، دینامیک سیالات محاسباتی اویلر یا نویر-استوکس استخراج نمود. بارهای آیرودينامیکی بسته به کاربرد می‌توانند در حوزه فرکانس یا زمان بیان شوند. نمایش بارهای آیرودينامیکی در حوزه فرکانس به لحاظ تعیین مرز پایداری فلاتر و تحلیل پایداری با استفاده از رویکرد مقادیر ویژه مفید می‌باشد. با این حال به منظور بررسی پاسخ دینامیکی سیستم‌های آیروالاستیک، تحلیل آیروالاستیک غیر خطی یا بکار گیری سیستم کنترلی حلقه بسته، نمایش نیروهای آیرودينامیکی ناپایای در حوزه زمان اجتناب ناپذیر خواهد بود. حل‌های کلاسیکی برای نیروی برآ و گشتاور پیچشی آیرودينامیک دوبعدی توسط تئودورسن، گرینبرگ و وگنر در حوزه‌های فرکانس و زمان ارائه شده‌اند [1]. با توجه به فرض حرکت هارمونیک ساده، تئوری‌های ارائه شده توسط محدوده فرکانس محدود می‌نمایند. از طرفی با توجه به اثرات تراکم پذیری جریان بر تحلیل‌های آیروالاستیک، پاسخ اندیسی بدست آمده در حوزه زمان توسط و گنر نیز دارای کاربرد محدود می‌باشد. اگر چه، در حال حاضر به کمک پیشرفت روش‌های عددی نظری روش شبکه گردانی ناپایای، دینامیک سیالات محاسباتی می‌توان با جزئیات سیار و دقت بالا پاسخ آیرودينامیک ناپایای یک بالواره را به یک تاریخچه زمانی خاص از نیرو بدست آورد، اما به دلیل پیچیدگی‌های ذاتی این روش‌ها و نیز لزوم در اختیار داشتن مراجع محاسباتی گستره، استفاده روش‌های مذکور برای تحلیل مسائل آیروالاستیسیته متداول ناکارآمد یا بعضًا غیر عملی می‌باشد [1]. از این‌رو، با توجه به لزوم در اختیار داشتن مدل آیرودينامیک ناپایای در حوزه زمان که اثرات تراکم‌پذیری جریان و تغییرات دلخواه در زاویه حمله یا نرخ پیچش را بر داشته و از طرف دیگر منجر به ارائه مدل محاسباتی مناسب و به نسبت ساده از کوپلینگ مدل آیرودينامیک ناپایای با مدل سازه در بررسی‌های آیروالاستیک گردد، محققان را به استفاده از روش‌های تقریبی مبتنی بر توسعه اندیسی سوق داده است [2-5]. پاسخ اندیسی یک مفهوم ریاضی است که به صورت مستقیم نمی‌تواند از آرمایش بدست آید. برای جریان تراکم‌ناپذیر غیر لزج، حل‌های تحلیلی به‌شکل بسته برای پاسخ‌های اندیسی وجود دارند [4]. اما برای جریان تراکم‌پذیر مادون صوت چنین حل‌هایی در تمامی زمان‌ها موجود نیستند. با اینحال، نتایج تقریبی می‌توانند به صورت معمکوس از پاسخ آیرودينامیک به واسطه حرکت نوسانی در حوزه فرکانس بدست آیند [6]. بنا به تعریف، تابع اندیسی، پاسخ به یک اغتشاش ناگهانی بیان شده با تابع پله بین دو حالت پایای می‌باشد. در صورتیکه تابع اندیسی مشخص بوده و تئوری خطی نیز معتبر باشد، آنگاه می‌توان بارهای آیرودينامیکی ناپایای برای هر تغییر دلخواه در پارامترهای موثر (زاویه حمله، نرخ پیچش) را به واسطه اصل جمع آثار و با استفاده از انترگال دوهامل بدست آورد [4]. از مزایای رویکرد توابع اندیسی آیرودينامیکی می‌توان به توصیف دقیق ویژگی‌های آیرودينامیکی در رژیم‌های سرعت پروازی تراکم‌پذیر/ناپذیر، محاسبه بارهای آیرودينامیکی ناپایای در حرکت‌های دلخواه زمانی و امکان تقریب زدن توابع اندیسی با استفاده از رابطه‌های تحلیلی، دینامیک سیالات محاسباتی یا نتایج تجربی اشاره نمود

¹ UVLM: Unsteady Vortex-Lattice Method² Indicial Response Theory

سپس، با استفاده از جمع آثار پاسخ اندیسی و انتگرال دوهامل، نمایش‌هایی متفاوت از بارهای آبرودینامیکی، معتبر در کل محدوده جریان زیرصوت، برای حرکت دلخواه بالواره توسعه داده می‌شود. در ادامه، براساس تئوری نواری و نیز اصلاح شیب منحنی برآ، مدل آبرودینامیک مذکور برای بال سه‌بعدی تعمیم می‌یابد. به منظور اعتبار سنجی مدل آبرودینامیکی، نمودارهای توابع اندیسی توسعه یافته با نمودارهای موجود در سایر مراجع در اعداد ماخ مختلف مقایسه و مطابقت خوبی بین آنها مشاهده می‌شود. از جمله دست آوردهای تحقیق حاضر که در تمامی محدوده جریان تراکم‌نایزدیر تا تراکم‌پذیر مادون صوت معتبر می‌باشد، عبارتند از: ۱- ارائه تقریبی متفاوت از ضرایب یکسان پس از انتقال به سایر نقاط یا تغییر محور دوران. ۲- نمایش تقریب جونز از تابع و گنر با چهار تابع اندیسی مجرزا بر حسب نیروی برآ و گشتاور پیچشی ناشی از تغییر ناگهانی در زاویه حمله و نرخ پیچش آن. ۳- استفاده از عبارت‌های توانی یکسان و مستقل از عدد ماخ برای تمامی توابع اندیسی در اعداد ماخ مختلف و درنتیجه کاهش ضرایب وابسته به ماخ. ۴- توسعه نمایش کارآمد و یکتا از بارهای آبرودینامیکی ناپایا مبتنی بر توابع اندیسی با عبارت‌های نمایی مشابه در فضای حالت برای کوپل شدن به مدل سازه در مسائل آبروالاستیک. ۵- تعمیم مدل آبرودینامیکی حاصله به مسائل بال سه‌بعدی.

۲- بارهای آبرودینامیکی ناپایا

در صورتیکه پاسخ به تغییر پله در زاویه حمله یا نرخ پیچش (توابع اندیسی) مشخص بوده و تئوری خطی نیز معتبر باشد، آنگاه بارهای آبرودینامیکی ناپایا برای هر تغییر دلخواه در زاویه حمله یا نرخ پیچش را می‌توان به واسطه اصل برهمنهی آثار پاسخ و با استفاده از انتگرال دوهامل بدست آورد. در ادامه، مروری کوتاه بر توابع اندیسی پاسخ و بارهای آبرودینامیکی ناپایا حاصل از آنها در جریان‌های تراکم‌نایزدیر و تراکم‌پذیر مادون صوت آورده شده است.

۲-۱- رژیم سرعت پروازی تراکم‌نایزدیر

در جریان تراکم‌نایزدیر از تابع و گنر برای بیان نیروهای آبرودینامیکی ناپایا به واسطه تغییر پله واحد در زاویه حمله بالواره استفاده می‌شود [4]. برای کاربردهای عملی، تقریب‌های مختلفی از این تابع ارائه شده است که از میان آنها تقریب نمایی جونز تقریب دقیق‌تری از تابع و گنر را نمایش می‌دهد [24].

$$\phi(\tau) = 1 - 0.165e^{-0.0455\tau} - 0.335e^{-0.300\tau} \quad (1)$$

که در آن $b = Ut/b = \tau$ معرف زمان بی بعد می‌باشد. مؤلفه چرخشی نیروی برآی آبرودینامیکی تراکم‌نایزدیر بر حسب تقریب نمایی جونز از تابع و گنر، رابطه (1)، برای حرکتی دلخواه به صورت رابطه (2) بیان می‌شود [4].

$$L_i^c(\tau) = \frac{C_{L_a} q S}{U} \int_{-\infty}^{\tau} \frac{d}{d\sigma} \dot{w}_{3/4}(\sigma) \phi(\tau - \sigma) d\sigma \quad (2)$$

که در آن C_{L_a} ، q و U به ترتیب شبیه منحنی ضربی برآ، فشار آبرودینامیکی، مساحت سطح برآزا و سرعت جریان آزاد بوده و سرعت فرو ریزش نیز با رابطه (3) در محل $3/4$ وتر تعیین می‌شود.

$$\dot{w}_{3/4}(\tau) = -\dot{h}(t) - b \left(\frac{1}{2} - a \right) \dot{\alpha}(t) - U \alpha(t) \quad (3)$$

که در آن h و α ، به ترتیب بیانگر حرکت‌های انتقالی و دورانی بالواره، طول نصف وتر بالواره و a موقعیتی بعد محور الاستیک نسبت به میانه وتر می‌باشند. مؤلفه چرخشی گشتاور آبرودینامیکی تراکم‌نایزدیر حول محور دوران به فاصله ab پشت میانه وتر بالواره با رابطه (4) بیان می‌شود.

سطح برآزای دو بعدی را توسعه دادند. آنها با استفاده از آبرودینامیک اندیسی ناپایای توسعه داده شده، پاسخ آبروالاستیک سطوح برآزای دو بعدی در جریان تراکم‌نایزدیر و تراکم‌پذیر شامل درجات آزادی حرکت انتقالی و پیچشی را بدست آوردند [16, 17]. نظر به ماهیت غیرخطی آبرودینامیک در ناحیه گذر صوتی، ماززوکا و همکاران [18] با استفاده از ترکیب روش دینامیک سیالات محاسباتی و فرایند تحلیلی، نیروی برآ و گشتاور آبرودینامیکی را بر حسب توابع اندیسی خطی و غیرخطی در سرعت پروازی تراکم‌پذیر مادون صوت، مافوق صوت و گذر صوتی توسعه دادند. ماززوکا و همکاران [7] در تحقیقی جامع بارهای آبرودینامیکی یک بالواره دو درجه آزادی تحت درجات آزادی انتقال و پیچش با استفاده از روش مبتنی بر توابع اندیسی خطی و غیرخطی به همراه دینامیک سیالات محاسباتی در رژیم‌های مختلف پروازی تراکم‌نایزدیر و تراکم‌پذیر را تعیین نمودند. همان‌طور که اشاره شد روش‌های مبتنی بر دینامیک سیالات محاسباتی نیز از روش‌های کارآمد تعیین پاسخ‌های اندیسی هستند. البته نتایج بدست آمده از این روش می‌بایست ابتدا با استفاده از نتایج تجربی و تئوری اعتبار سنجی گردند. پارامسواران و همکاران [19] با اعمال تغییری در حلگر اوبلر/نویر استوکس به صورت مستقیم پاسخ‌های اندیسی یک بالواره به تغییرات پله در زاویه حمله و نرخ پیچش را محاسبه نمودند. میراندا و همکاران [20] به صورت عددی و با استفاده از روش شبکه گردابی پاسخ اندیسی بال در جریان مادون صوت تراکم‌پذیر به تغییر پله در زاویه حمله را استخراج نمودند. نتایج ایشان محدود به بال‌های نازک با زاویه حمله کوچک به دلیل استفاده از مدل ریاضی خطی می‌باشد. اثر عدد ماخ، نسبت منظری و زاویه سوئیپ بر پاسخ اندیسی از دیگر موضوعات بررسی شده در تحقیق مذکور است. در بیشتر مطالعات انجام شده، توابع اندیسی آبرودینامیکی تنها در مقادیر مشخصی از عدد ماخ تعیین (برای مثال، ۰.۵، ۰.۶، ۰.۷ و ۰.۸) شده‌اند. فرسادی و همکاران [21] تقریب نمایی جدیدی از توابع اندیسی وابسته به عدد ماخ در ناحیه تراکم‌پذیر و محدوده ۰.۵ تا ۰.۸ ماخ را ارائه نمودند. با استفاده از تقریب فوق به همراه نمایش فضایی حالت بارهای آبرودینامیک، سینا و همکاران [22] پایداری و پاسخ بال‌های دارای سوئیپ کامپوزیتی در جریان تراکم‌پذیر مادون صورت را بررسی نمودند. فیروزآبادی و همکاران [23] با استفاده از آبرودینامیک مبتنی بر توابع اندیسی و داده‌های ماززوکا و همکاران [16]، اثر نیروی پیشران روی پایداری آبروالاستیک بال کامپوزیتی دارای سوئیپ تحت جریان تراکم‌پذیر زیرصوت را مطالعه نمودند.

در این مقاله با بیان رویکردی متفاوت از توابع اندیسی، مدلی جدید از بارهای آبرودینامیکی ناپایا در جریان‌های تراکم‌نایزدیر و تراکم‌پذیر زیرصوت ارائه می‌شود، که برای مطالعه پاسخ و نیز پایداری مسائل مختلف آبروالاستیک سطوح برآزای دو و سه بعدی در حوزه زمان و فرکانس مناسب و کارآمد می‌باشد. برخلاف جریان تراکم‌نایزدیر که بارهای آبرودینامیکی تنها با یک تابع اندیسی نظری تابع و گنر تعیین می‌شوند، در جریان تراکم‌پذیر به چهار تابع اندیسی برای تعریف نیروی برآ و گشتاور آبرودینامیکی نیاز است. از طرفی، وجود عبارات نمایی وابسته به ماخ در توابع اندیسی متداول، موجب پیچیدگی آنها در انتقال به سایر محورهای دوران بالواره و پی‌آمد آن روابط سنگین آبروالاستیک می‌شود. از این‌رو، با هدف یکپارچه‌سازی روابط آبرودینامیک معتبر در تمامی محدوده زیر صوت، تقریب‌هایی نوین و کاربردی از توابع اندیسی مبتنی بر روابط تحلیلی و داده‌های عددی موجود ارائه می‌شود، که علاوه بر تابعیت پیوسته از عدد ماخ در محدوده صفر تا ۰.۸ دارای شکل مناسبی برای انتقال به مرکز دوران دلخواه روی بالواره می‌باشند.

سرعت فروزش شامل دو بخش با محتوای مختلف، یعنی مقداری ثابت بر حسب عبارت‌های \dot{h} و $U\alpha$ و مقداری متغیر بر حسب عبارت $\ddot{\alpha}$ در امتداد وتر، می‌باشد. از این‌رو می‌بایست به صورت جداگانه اثرات این عبارات در تعیین بارهای آیروдинامیکی لحاظ گردد. در يك سرعت ماخ مشخص، نیروی برآ و ممان پیچشی ان迪سی (حول محور دوران) کل در نتیجه تغییر پله در زاویه حمله α و نرخ پیچش \dot{h} برای شروع حرکت متناظر با زمان $t = 0$ به صورت روابط (9) و (10) تعریف می‌شوند [4].

$$\bar{L}(\tau) = \frac{C_{L_a} q S}{U} [\dot{w}(\tau) \bar{\phi}_{ca}(\tau) + 2b\dot{\alpha}(\tau) \bar{\phi}_{cq}(\tau)] \quad (9)$$

$$\bar{M}_y(\tau) = \frac{C_{L_a} q S c}{U} [\dot{w}(\tau) \bar{\phi}_{cm}(\tau) + 2b\dot{\alpha}(\tau) \bar{\phi}_{cmq}(\tau)] \quad (10)$$

که در آن c طول وتر بالواره و توابع ان迪سی $\bar{\phi}_{ca}(\tau)$ ، $\bar{\phi}_{cm}(\tau)$ و $\bar{\phi}_{cq}(\tau)$ و $\bar{\phi}_{cmq}(\tau)$ به ترتیب بیانگر توابع ان迪سی برآ و گشتاور خمی ناشی از تغییر پله در زاویه حمله و نرخ پیچش حول لبه حمله می‌باشند. توجه شود که عالمات بالانویس خط تیره، نشان دهنده کمیت‌ها در لبه حمله می‌باشد. در صورت مشخص بودن توابع ان迪سی، با استفاده از اصل جمع آثار و نیز انتگرال دوهامل، نیروی برآ و گشتاور آیروдинامیکی حول لبه حمله برای حرکت کوچک و دلخواه بال را می‌توان با روابط (11) و (12) بیان نمود.

$$\bar{L}(\tau) = \frac{C_{L_a} q S}{U} \int_{-\infty}^{\tau} \left[\frac{d}{d\sigma} \dot{w}(\sigma) \bar{\phi}_{ca}(\tau - \sigma) + 2b \frac{d\dot{\alpha}(\sigma)}{d\sigma} \bar{\phi}_{cq}(\tau - \sigma) \right] d\sigma \quad (11)$$

$$\bar{M}_y(\tau) = \frac{C_{L_a} q S c}{U} \int_{-\infty}^{\tau} \left[\frac{d}{d\sigma} \dot{w}(\sigma) \bar{\phi}_{cm}(\tau - \sigma) + 2b \frac{d\dot{\alpha}(\sigma)}{d\sigma} \bar{\phi}_{cmq}(\tau - \sigma) \right] d\sigma \quad (12)$$

در هر محدوده پروازی که در آن توابع ان迪سی در دسترس باشند، معادلات کلی (11) و (12) را می‌توان برای محاسبه نیروی برآ و گشتاور آیروдинامیکی ناپایای بکار برد. برای تعیین بارهای آیرودينامیکی ناپایای که در محلی به فاصله ab پشت میانه وتر بالواره قرار گرفته است، از قوانین انتقال گشتاور استفاده می‌گردد. اساس این انتقال مبتنی بر مشابه بودن سرعت زاویه‌ای حول محور گذرنده از محور دوران گذرنده از سرعت زاویه‌ای حول محور $x = 0$ بعلاوه انتقال عمودی مقطع به مقدار $\dot{h}_0 = -b\dot{\alpha}(a+1)$ می‌باشد [4]. پس از انجام محاسبات مربوط به انتقال محور دوران، روابط مشابه‌ای با معادلات (11) و (12) برای بارهای آیرودينامیکی ناپایای بدست می‌آیند، با این تفاوت که توابع ان迪سی تشکیل دهنده آنها بایستی با استفاده از روابط (13) تا (16) اصلاح شوند.

$$\phi_{ca}(\tau) = \bar{\phi}_{ca}(\tau) \quad (13)$$

$$\phi_{cM}(\tau) = \bar{\phi}_{cm}(\tau) + \frac{1}{2}(a+1)\bar{\phi}_{ca}(\tau) \quad (14)$$

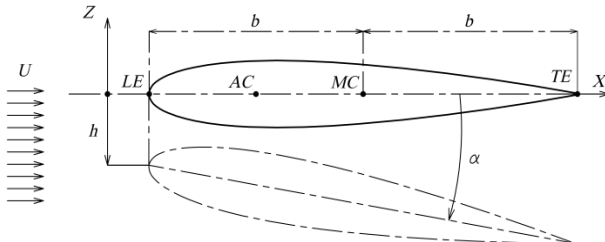


Fig. 1 Vertical translation and pitching about an axis through the leading edge

شکل ۱ حرکت انتقال عمودی و پیچشی بال حول محور گذرنده از لبه حمله

$$M_I^c(\tau) = b \left(\frac{1}{2} + a \right) L_I^c(\tau) \quad (4)$$

روابط (2) و (4) تنها در برگیرنده مؤلفه‌های چرخشی جریان هستند. به منظور بیان نیروهای آیرودينامیکی ناپایای در جریان تراکم‌نایزدیر مؤلفه‌های بخش غیرچرخشی جریان نیز بایستی لحاظ شوند. مؤلفه‌های غیرچرخشی نیروهای آیرودينامیکی تراکم‌نایزدیر با روابط (5) و (6) تعریف می‌شوند [4].

$$L_I^{nc}(\tau) = \frac{1}{2} \rho C_{L_a} b^2 [\dot{h}(t) - ab\ddot{\alpha}(t) + U\dot{\alpha}(t)] \quad (5)$$

$$M_I^{nc}(\tau) = \frac{1}{2} \rho C_{L_a} b^3 \left[a\ddot{h}(t) - b \left(\frac{1}{8} + a^2 \right) \ddot{\alpha}(t) - U \left(\frac{1}{2} - a \right) \dot{\alpha}(t) \right] \quad (6)$$

که در آن مشتقات نسبت به زمان فیزیکی، t ، می‌باشند.

2-2- رژیم سرعت پروازی تراکم‌پذیر مادون صوت

مطالعات بسیاری روی جریان تراکم‌پذیر زیرصوت به منظور بیان عبارات تحلیلی از توابع ان迪سی انجام شده است [15,11,10,5,3,1] راهکار عملی برای پیش‌بینی بارهای آیرودينامیکی به واسطه حرکت‌های کوچک دلخواه از يك بالواره در پرواز مادون صوت، استفاده از جمع آثار انتگرال فوریه از نتایج تئوری برای نوسان‌های هارمونیک ساده می‌باشد. بدین منظور، ابتدا توابع ان迪سی برای درجات آزادی مهم بال یعنی انتقال عمودی و پیچشی با فرض عدم تغییر شکل مقاطع در طول وتر تعیین می‌شوند. سپس از انتگرال برهم نهی دوهامل برای استخراج نیروهای برآ و ممان برای حرکت‌های کلی استفاده می‌شود. در تئوری آیرودينامیک ناپایای تراکم‌نایزدیر، الگوی جریان مبتنی بر دو بخش غیر چرخشی و چرخشی می‌باشد. منشاء بخش غیرچرخشی که اثر جرم ظاهری یا اینرسی نیز نامیده می‌شود، شتاب نا صفر بال می‌باشد. هوای اطراف بال دارای جرمی محدود است که منجر به نیروهای اینرسی مخالف شتاب می‌شود. در سیال تراکم‌پذیر با سرعت صوت محدود، الگوهای جریان غیر چرخشی نمی‌توانند خودشان را به سرعت با تغییرات شرایط مرزی تنظیم نمایند. نیروی برآ و ممان غیر چرخشی که تنها در بعضی نقاط قابل محاسبه می‌باشند، به شتاب‌ها و سرعت‌های لحظه‌ای بال بستگی نداشته اما متأثر از سابقه زمانی خود هستند. از اینرو، مجزا نمودن بخش‌های چرخشی و غیر چرخشی جریان مزیتی ندارد. در واقع، دلیل اصلی چنین رویکردی در جریان تراکم‌نایزدیر آن است که بارهای غیر چرخشی در شروع حرکت ضربه‌ای نامحدود می‌شوند. اما به واسطه میرا شدن ضربه در جریان تراکم‌پذیر، تکینی مذکور در حذف می‌شود. بنابراین در آیرودينامیک تراکم‌پذیر، مفهوم جرم ظاهری بی معنی است [22,16,4]. برخلاف حالت تراکم‌نایزدیر، چرخش حول بالواره در طول وتر در جریان تراکم‌پذیر تنها توسط سرعت عمودی در نقطه سه چهارم وتر تعیین نمی‌شود. این بدان معنی است که دو تابع ان迪سی، یکی برای انتقال عمودی و دیگری برای سرعت پیچشی، جایگزین تابع و گنر می‌شوند. از اینرو، چرخش حول بالواره توسط مجموعه‌ای شامل چهار تابع ان迪سی بیان می‌شود. سرعت فروزش w_a ذرات سیال در تماس با يك بال تحت تاثیر حرکت‌های انتقالی h و دورانی α با رابطه (7) بیان می‌شود (شکل 1). توجه شود که اگر چه در مسائل آیروالاستیک محور دوران در محل محور الاستیک قرار می‌گیرد، در حال حاضر محور چرخش به طور موقعت روی لبه حمله واقع است.

$$w_a(x, t) = -\dot{w}(t) - \dot{\alpha}(t)x \quad (7)$$

که در آن عبارت (t) ، \dot{w} ، با رابطه (8) بیان می‌شود.

$$\dot{w}(t) = \dot{h}(t) + U\alpha(t) \quad (8)$$

انتقال یافته لابلس بیان می‌شوند. به منظور بیان نیروهای آبودینامیکی در حوزه فرکانس، روابط (22) و (23)، جایگزینی $ik \rightarrow s$ در روابط (20) و (21) اعمال می‌شود [16].

$$L(s) = C_{L_\alpha} qSk^2 \left\{ i \frac{\alpha(k)}{k} - \frac{h(k)}{U} \right\} \phi_{ca}(ik) - 2b \frac{\alpha(k)}{U} \phi_{cq}(ik) \quad (22)$$

$$M(s) = C_{L_\alpha} qSck^2 \left\{ i \frac{\alpha(k)}{k} - \frac{h(k)}{U} \right\} \phi_{cm}(ik) - 2b \frac{\alpha(k)}{U} \phi_{cmq}(ik) \quad (23)$$

که در آن k فرکانس کاهش یافته می‌باشد. با استفاده از ارتباط میان تابع تندورسن $\Phi(i)$ و $C(F, G)$ در جریان تراکم‌نپذیر [25]، می‌توان برای جریان تراکم‌پذیر نیز تعاریف متناظر مشابه تابع تندورسن با توابع اندیسی مطابق با رابطه (24) ارائه نمود.

$$C_{ca}[F_{ca}; G_{ca}] = F_{ca}(k) + G_{ca}(k) = ik \int_0^\infty \phi_{ca}(t) e^{-ik\frac{ut}{b}} dt = ik \Phi_{ca}(ik) \quad (24)$$

روابط مشابه‌ای را می‌توان میان توابع $C_{cm}[F_{cm}; G_{cm}]$ و $C_{cmq}[F_{cmq}; G_{cmq}]$ ، $C_{cq}[F_{cq}; G_{cq}]$ و $C_{cmq}(k)$ بر قرار نمود. به تعییری می‌توان توابع ϕ_{cm} و ϕ_{cq} و ϕ_{cmq} را مشابه تراکم‌پذیر از تابع تندورسن $C(k)$ در حرکت نوسانی انتقالی و پیچشی از نیروی برآ و گشتاور آبودینامیکی دانست.

3- تقریب‌های توابع اندیسی برای جریان ناپایای

یک راهکار موثر و عملی برای تحلیل مسائل آبولاستیک شامل مباحث پایداری، پاسخ دینامیکی و کنترل، استفاده از رویکرد فضای حالت می‌باشد. از این‌رو هدف ارائه نمایش مناسب و معترض از تقریب نمایی توابع اندیسی برای انتقال نیروی برآ و گشتاور آبودینامیکی مادون صون در جریان تراکم‌پذیر/نپذیر به فضای حالت است. به منظور نمایش توابع پاسخ اندیسی ناپایای بر حسب اعداد ماخ پیوسته که تمامی محدوده جریان‌های تراکم‌نپذیر تا تراکم‌پذیر مادون صوت را شامل گردد، تلفیقی از داده‌های تقریبی موجود در مراجع [11,10]، مقادیر اولیه و مجانبی [4] و نیز نتایج تحلیلی دقیق [26] به همراه ساده‌سازی‌ها و ترفندهای ریاضی مورد استفاده قرار می‌گیرند.

3-1- مقادیر اولیه و مجانبی (حدی)

گرچه هیچ یک از توابع اندیسی را نمی‌توان به طور دقیق در تمام محدوده زمان بی‌بعد به صورت توابعی مشخص یافت، اما مقادیر اولیه و مجانبی آنها قابل محاسبه می‌باشند [4]. مقادیر آغازین این توابع، روابط (25) و (26)، معادل کمیت‌های متناظر برای حرکت هارمونیک در فرکانس بی‌نهایت هستند. و از این‌رو، با استفاده از انتگرال فوریه می‌توانند محاسبه شوند. البته این کمیت‌ها با استفاده از تئوری پیستون به صورت ساده‌تری نیز قابل تعیین می‌باشند.

$$\bar{\phi}_{ca}(0) = \frac{2}{\pi M}, \quad \bar{\phi}_{cq}(0) = \frac{1}{\pi M} \quad (25)$$

$$\bar{\phi}_{cm}(0) = \frac{-1}{\pi M}, \quad \bar{\phi}_{cmq}(0) = \frac{-2}{3\pi M} \quad (26)$$

که در آن M عدد ماخ می‌باشد. مقادیر مجانبی بیان شده با روابط (27)

و (28)، بیانگر کمیت‌های اندیسی نیروهای برآ و گشتاور پیچشی بالواره در حرکت پایا می‌باشند که با ضرب نمودن مقادیر مشابه تراکم‌نپذیر آنها در ضریب پرانتل-گلارت بدست می‌آیند [4].

$$\phi_{ca}(\tau) = \bar{\phi}_{ca}(\tau) - \frac{1}{2}(a+1)\bar{\phi}_{ca}(\tau) \quad (15)$$

$$\phi_{cmq}(\tau) = \bar{\phi}_{cmq} + \frac{1}{2}(a+1)(\bar{\phi}_{ca} - \bar{\phi}_{cm}) - \frac{1}{16}(a+1)^2\bar{\phi}_{ca} \quad (16)$$

با استفاده از توابع اندیسی انتقال یافته، بارهای ناپایای آبودینامیکی تراکم‌پذیر مطابق با روابط (17) و (18) بازنویسی می‌شوند.

$$L_c(\tau) = \frac{C_{L_\alpha} qS}{U} \int_{-\infty}^{\tau} \left[\frac{d\dot{w}(\sigma)}{d\sigma} \phi_{ca}(\tau - \sigma) + 2b \frac{d\dot{\alpha}(\sigma)}{d\sigma} \phi_{cq}(\tau - \sigma) \right] d\sigma \quad (17)$$

$$M_c(\tau) = \frac{C_{L_\alpha} qSc}{U} \int_{-\infty}^{\tau} \left[\frac{d\dot{w}(\sigma)}{d\sigma} \phi_{cm}(\tau - \sigma) + 2b \frac{d\dot{\alpha}(\sigma)}{d\sigma} \phi_{cmq}(\tau - \sigma) \right] d\sigma \quad (18)$$

چنانچه اشاره شد، فعالیت‌های مهمی در راستای توسعه عبارت‌های تحلیلی مناسب برای توابع اندیسی در جریان‌های تراکم‌پذیر زیرصوت انجام شده است که ما حصل آنها نمایش‌های مختلفی از تقریب توابع اندیسی آبودینامیک ناپایا می‌باشد [21,16,11,10,1]. به دلیل جنبه‌های مختلف محاسباتی شامل کارآیی و سهولت در تحلیل‌های آبولاستیک، نقطه اشتراک تمامی آنها بیان شکل نمایی توابع بوده و از جمله تقاضاهای آنها می‌توان به تعداد جملات، روش استخراج ضرایب به منظور تزدیک شدن به داده‌های تجربی و محدوده اعتبار توابع تقریبی اندیسی اشاره نمود. در این مقاله، و به منظور محاسبات عملی آنی، توابع اندیسی $\bar{\phi}_{ca}(\tau)$ ، $\bar{\phi}_{cm}(\tau)$ و $\bar{\phi}_{cmq}(\tau)$ برای جریان تراکم‌پذیر زیرصوت حول لبه حمله به شکل عمومی بیان شده با رابطه (19) می‌باشند.

$$\bar{\phi}(\tau, M) = \sum_{j=0}^3 \bar{b}_j(M) e^{-\bar{\beta}_j(M)\tau} \quad (19)$$

ضرایب موجود در توابع اندیسی به صورت عددی در مقادیر ماخ مشخصی تعیین شده‌اند [21,16,11,10,1]. اما همان‌طور که در بخش بعد نشان داده خواهد شد، این ضرایب به دلایل نظری نمایش نادرست، محدود بودن به اعداد ماخ مشخص، در بر نگرفتن تمامی محدوده جریان تراکم‌نپذیر تا تراکم‌پذیر به منظور ارائه فرمولاسیون یکتا و نهایتاً ارائه نمایشی مفید و کارآمد در محاسبات آبولاستیک (به خصوص در فضای حالت) نیازمند اصلاح و تغییر می‌باشند.

2- نمایش حوزه فرکانس از بارهای آبودینامیکی

در صورتی که تنها تعیین مرز ناپایداری فلاتر در حوزه فرکانس مورد نظر باشد، نمایش بارهای آبودینامیکی ناپایای در حوزه مذکور سودمند خواهد بود. نیروهای آبودینامیکی مادون صوت تراکم‌پذیر برای حرکت‌های نوسانی و پیچشی دلخواه حول محور الاستیک که به فاصله ab از میانه وتر بال به سمت لبه فرار قرار گرفته است را می‌توان در فضای انتقال یافته لابلس تحت ضرایط اولیه صفر با روابط (20) و (21) نشان داد.

$$L(s) = \frac{C_{L_\alpha} qS}{U} s \{ [sh(s) + U\alpha(s)]\phi_{ca}(s) + 2bs\alpha(s)\phi_{cq}(s) \} \quad (20)$$

$$M(s) = \frac{C_{L_\alpha} qSc}{U} s \{ [sh(s) + U\alpha(s)]\phi_{cm}(s) + 2bs\alpha(s)\phi_{cmq}(s) \} \quad (21)$$

که در آن s متغیر انتقال لابلس و توابع اندیسی جدید نیز در فضای

3-3- تابع اندیسی تقریبی

همان‌طور که پیشتر بیان شد، بر خلاف جریان تراکم‌ناپذیر، تابع اندیسی در جریان تراکم‌پذیر مادون صوت را نمی‌توان جز برای مقادیر خاصی از زمان، به صورت تحلیلی بیان نمود. از این‌رو، تعیین پاسخ اندیسی در بازه میانی $\tau \leq M/(M+1) \leq 0.5$ موضوع اغلب تحقیق‌ها بوده است. یک روش کارآمد برای پیش‌بینی تابع اندیسی استفاده از اصل برهمنهی انتگرال فوریه است. با فرض ارتباط خطی میان حرکت (ورودی) و بارهای آبرودینامیکی (خروجی)، می‌توان روابط مناسبی را برای بالواره در جریان تراکم‌پذیر مبتنی بر مقایسه مستقیم با حالت تراکم‌ناپذیر استخراج نمود. پایه و اساس این روش ارتباط نتایج عددی بدست آمده برای حرکت نوسانی بالواره در حوزه فرکانس به حوزه زمان می‌باشد. به‌منظور برقراری یک ارتباط معکوس منتج به پاسخ اندیسی دقیق، بایستی پاسخ‌های آبرودینامیکی در تعداد کافی از فرکانس‌های نوسانی در دسترس باشد [1]. مازلسکی و دریشلر [10, 11]، انتگرال‌های ارتباط دهنده تابع فرکانسی به تابع اندیسی برای اعداد ماخ 0.5، 0.6 و 0.7 را به صورت عددی محاسبه نمودند. تابع اندیسی ارائه شده توسط آنها، مشابه رابطه (19) می‌باشد، اما ضرایب تشکیل دهنده تابع در یک محل واحد (مثلاً لبه حمله) ارائه نشده‌اند. برای انتقال تابع اندیسی مرجع [11] به لبه حمله از روابط انتقال بیان شده با روابط (33) و (34) استفاده می‌شود.

$$\bar{\phi}_{cm}(\tau) = \phi_{cm}(\tau) - \frac{1}{4}\phi_{c\alpha}(\tau) \quad (33)$$

$$\bar{\phi}_{cq}(\tau) = \phi_{cq_{3/4}}(\tau) + \frac{3}{4}\phi_{c\alpha}(\tau) \quad (34)$$

$$\bar{\phi}_{cmq}(\tau) = \phi_{cmq_{3/4}}(\tau) + \frac{3}{4}\phi_{cm}(\tau) - \frac{1}{4}\phi_{cq_{3/4}}(\tau) - \frac{3}{16}\phi_{c\alpha}(\tau) \quad (35)$$

که در آن ϕ_{cm} تابع اندیسی گشتاور ناشی از تغییر پله در زاویه حمله و $\phi_{cmq_{3/4}}$ و $\phi_{cq_{3/4}}$ به ترتیب بیانگر تابع اندیسی برآ و گشتاور ناشی از تغییر پله در نرخ پیچش حول نقطه $3/4$ وتر می‌باشد. توجه شود که بازوی تابع اندیسی گشتاور حول مرکز آبرودینامیکی واقع است. با استفاده از روابط (33) تا (35)، مقادیر تابع اندیسی واقع در لبه حمله در سه عدد ماخ مشخص می‌باشند. حال با استفاده از داده‌های فوق و رویکردی که در ادامه خواهد آمد می‌توان تابع اندیسی را در بازه گسترده‌تری از اعداد ماخ بدست آورد.

3-4- ایجاد توابع اندیسی تقریبی به صورت تابع پیوسته از عدد ماخ

همان‌طور که بیان شد، تابع اندیسی تنها در اعداد ماخ مشخص و محدودی در دسترس می‌باشند [21, 16, 11, 10, 1]. به علاوه، وجود عبارات نمایی با توان‌های مختلف، باعث پیچیدگی تابع اندیسی انتقال یافته و در نتیجه بارهای آبرودینامیکی ناپایای می‌گردد که در نهایت به واسطه افزوده شدن به معادلات سازه‌ای غالباً حجمی در تحلیل‌های آبروالاستیک، ملاحظات محاسباتی بیشتری را مطالبه می‌نماید. از این‌رو، برای دستیابی به تابع اندیسی که بازه گسترده‌تری را پوشش داده (ماخ صفر تا ماخ 0.8) و در ضمن دارای شکل ساده‌تری در انتقال و در نتیجه محاسبات آبروالاستیک باشند، رویکرد متفاوتی بر مبنی داده‌های موجود توسعه داده می‌شود.

طبق رابطه (19) برای مشخص شدن هر یک از توابع اندیسی به هفت ضریب تابع عدد ماخ نیاز است. بدون از دست دادن کلیات، با مستقل و معلوم فرض نمودن ضرایب نمایی تابع اندیسی، می‌توان تعداد ضرایب مجھول را کاهش داد. در این تحقیق، دو رویکرد برای بیان ضرایب نمایی مطرح گردید. در رویکرد اول، ضرایب نمایی هر یک از چهار تابع اندیسی را می‌توان به صورت ثوابتی مستقل از عدد ماخ و مشابه با ضرایب نمایی جملات

$$\bar{\phi}_{c\alpha}(\infty) = \frac{1}{\sqrt{1-M^2}}, \quad \bar{\phi}_{cq}(\infty) = \frac{3}{4\sqrt{1-M^2}} \quad (27)$$

$$\bar{\phi}_{cm}(\infty) = \frac{-1}{4\sqrt{1-M^2}}, \quad \bar{\phi}_{cmq}(\infty) = \frac{-1}{4\sqrt{1-M^2}} \quad (28)$$

با استفاده از روابط تحلیلی (25) تا (28) و نیز داده‌های مازلسکی [11] و ماززوکا [16] به همراه رابطه (19)، مقادیر اولیه و مجذبی تابع اندیسی $\phi_{cm}(\tau)$ ، $\phi_{cq}(\tau)$ و $\phi_{cmq}(\tau)$ در اعداد ماخ 0.5 و 0.7 محاسبه و در جدول‌های 1 و 2 آورده شده‌اند. با مقایسه نتایج مندرج در این جدول‌ها، می‌توان به صحت داده‌های ارائه شده توسط مازلسکی [11] بی‌برد.

با این حال، مقادیر ابتدایی و مجذبی تابع اندیسی مستخرج از داده‌های ماززوکا [16] با مقادیر منتظر تحلیلی مطابقت ندارند. این عدم تطابق در داده‌های ارائه شده در اعداد ماخ 0.6 و 0.8 نیز مشاهده می‌شود. بنابراین، در صحت ضرایب تقریب‌زننده تابع اندیسی تراکم‌پذیر مادون صوت که در جدول یک از مرجع مذکور آورده شده‌اند، تردید وجود دارد.

3-2- تابع اندیسی تحلیلی

لومکس [3] با استفاده از تغییر پله در زاویه حمله و نیز نرخ پیچش توانست تابع اندیسی را برای بازه زمانی هر چند کوتاه به صورت تحلیلی نمایش دهد. او و همکارش [26] با حل معادلات موج در جریان تراکم‌پذیر ناپایای دو بعدی، توزیع فشار روی بالواره در بازه زمانی $0 \leq \tau \leq 2M/(M+1)$ را محاسبه نمودند. با استفاده از این توزیع فشار، نیروی برآ و گشتاور به صورت تابعی از زمان و همچنین تابع اندیسی بی بعد استخراج شدند. روابط (29) تا (32) بیانگر تابع اندیسی در محدوده مذکور می‌باشند.

$$\bar{\phi}_{c\alpha}(\tau) = \frac{2}{\pi M} \left[1 - \frac{\tau}{2M} (1-M) \right] \quad (29)$$

$$\bar{\phi}_{cm}(\tau) = \frac{-1}{\pi M} \left[1 - \frac{\tau}{2M} (1-M) + \frac{\tau^2}{8M} (M-2) \right] \quad (30)$$

$$\bar{\phi}_{cq}(\tau) = \frac{1}{\pi M} \left[1 - \frac{\tau}{2M} (1-M) + \frac{\tau^2}{4M} \left(1 - \frac{M}{2} \right) \right] \quad (31)$$

$$\bar{\phi}_{cmq}(\tau) = \frac{-2}{3\pi M} \left[1 - \frac{3\tau}{4M} (1-M) + \frac{3\tau^2}{32M^2} (1-M)^2 + \frac{\tau^3}{16M^3} \left[M + \frac{1}{4}(1-M)^3 \right] \right] \quad (32)$$

جدول 1 مقادیر اولیه و مجذبی تابع اندیسی در ماخ 0.5

Table 1 Initial and asymptotic value of indicial functions of M=0.5

تابع اندیسی	تحلیلی و مازلسکی [11]	مارزوکا [16]
مقادیر اولیه	مقادیر مجذبی	مقادیر اولیه
1.155	1.293	1.155
0.289	0.101	-0.289
0.289	-0.011	0.866
0	-0.105	-0.289
		0.424
		$\phi_{cmq}(\tau)$

جدول 2 مقادیر اولیه و مجذبی تابع اندیسی در ماخ 0.7

Table 2 Initial and asymptotic value of indicial functions of M=0.7

تابع اندیسی	تحلیلی و مازلسکی [11]	مارزوکا [16]
مقادیر اولیه	مقادیر مجذبی	مقادیر اولیه
1.400	0.930	1.400
0.350	0.041	-0.350
0.350	0.001	1.052
0	-0.073	-0.350
		$\phi_{cmq}(\tau)$

آبودینامیک نواری و نیز لحاظ نمودن اثرات نسبت منظری، نسبت منظری و شبیه منحنی برآ به مسائل سه بعدی تعمیم می‌یابد.

4-1- نمایش بارهای آبودینامیکی متناسب با فضای حالت

انتقال معادلات آبودینامیک به فضای حالت به دلیل ماهیت آنها که در بردارنده میرایی‌های آبودینامیکی هستند، منجر به رویکرد مناسبی برای تحلیل مسائل ناپایاستار می‌گردد. انگیزه اصلی به کارگیری روش‌های فضای حالت، استخراج معادلات دیفرانسیل معمولی مرتبه اول توصیف کننده بارهای آبودینامیکی ناپایا است که با افزودن آنها به معادلات دینامیک سازه‌ای بالواره می‌توان پایداری و پاسخهای زمانی را با استفاده از تحلیل‌های مقدار ویژه یا انتگرال‌گیری مستقیم از معادلات آبودینامیک حاکم بدست آورد. انعطاف‌پذیری و عمومیت روش فضای حالت در بیان آبودینامیک ناپایا موجب کارآمدی و جذابیت آن برای تحلیل‌های آبودینامیک می‌گردد.

استخراج توابع اندیسی با عبارت‌های نمایی مشابه، منجر به توابع اندیسی با شکل کلی داده شده با رابطه (19)، حتی پس از انتقال آنها به محل محور الاستیک می‌شود. لازم به ذکر است که در این حالت، فرایند انتقال با اصلاح

ضرایب تشکیل دهنده توابع اندیسی طبق روابط (40) تا (43) انجام می‌شود.

$$b_{jca} = \bar{b}_{jca} \quad (40)$$

$$b_{jcm} = \bar{b}_{jcm} + \frac{1}{2}(a+1)\bar{b}_{jca} \quad (41)$$

$$b_{jcq} = \bar{b}_{jcq} - \frac{1}{2}(a+1)\bar{b}_{jca} \quad (42)$$

$$b_{jcmq} = \bar{b}_{jcmq} + \frac{1}{2}(a+1)(\bar{b}_{jcq} - \bar{b}_{jcm}) - \frac{1}{4}(a+1)^2\bar{b}_{jca} \quad (43)$$

که در آن عبارات \bar{b}_j و b_j به ترتیب بیانگر ضرایب توابع اندیسی در مکان لبه حمله و محور الاستیک واقع در فاصله ab از میانه وتر بالواره می‌باشند. از این‌رو، توابع اندیسی در محل محور الاستیک با رابطه (44) داده می‌شوند.

$$\phi_k(\tau, M) = \sum_{j=0}^3 b_{j,k}(M) e^{-\beta_j \tau} \quad (44)$$

که در آن ϕ_k معرف توابع اندیسی نیروی برآ و گشتاور آبودینامیکی برای تغییر پله در زاویه حمله و نرخ پیچش یعنی به ترتیب ϕ_{cq} ، ϕ_{cm} ، ϕ_{ca} و ϕ_{cmq} می‌باشند. با فرض شروع حرکت از زمان $t=0$ ، و همچنین استفاده از زمان واقعی t به جای زمان t بعد τ ، روابط (17) و (18) دوران بالواره حول محور الاستیک مطابق با روابط (45) تا (46) بازنویسی می‌شوند.

$$L(t) = \frac{C_{L_\alpha} q S}{U} \left\{ \dot{w}(0) \phi_{ca}(t) + 2b\dot{\alpha}(t) \phi_{cq}(0) + \int_0^t \frac{d\dot{w}(\sigma)}{d\sigma} \phi_{ca}(t-\sigma) d\sigma + 2b \int_0^t \frac{d\dot{\alpha}(\sigma)}{d\sigma} \phi_{cq}(t-\sigma) d\sigma \right\} \quad (45)$$

$$M_{ea}(t) = \frac{C_{L_\alpha} q S C}{U} \left\{ \dot{w}(0) \phi_{cm}(t) + 2b\dot{\alpha}(t) \phi_{cmq}(0) + \int_0^t \frac{d\dot{w}(\sigma)}{d\sigma} \phi_{cm}(t-\sigma) d\sigma + 2b \int_0^t \frac{d\dot{\alpha}(\sigma)}{d\sigma} \phi_{cmq}(t-\sigma) d\sigma \right\} \quad (46)$$

در ادامه، برای توسعه بارهای آبودینامیکی در فضای حالت دو رویکرد متصور می‌باشد، که بسته به دیدگاه تحلیل‌گر در برخورد با مسئله آبودینامیک می‌توان هریک از این رویکردها را به کار برد. در رویکرد اول، رابطه (44) در روابط (45) و (46) جایگذاری می‌شود. در این حالت بارهای آبودینامیکی با روابط (47) و (48) توصیف می‌شوند.

مشابه آنها در عدد ماخ مشخصی (برای مثال، 0.5) در نظر گرفت. در رویکرد دوم که نتایج آن در این مقاله ارائه شده است، برای ساده‌سازی بیشتر به خصوص در انتقال توابع اندیسی به محل دلخواه روى بالواره، ضرایب نمایی تمامی جملات متناظر ϕ در عدد ماخ مشخصی لحاظ می‌شوند. از این‌رو، جملات توابع اندیسی پس از انتقال به مرکز دوران جدید بالواره، مشابه با جملات پیش از انتقال می‌باشند.

در هر دو رویکرد فوق، با لحاظ نمودن سه جمله تاخیری در هر یک از توابع اندیسی، بایستی در مجموع شانزده ضریب مجهول برای هر عدد ماخ تعیین گردد. بخشی از مجهولات مذکور با استفاده از روابط (25) تا (32) داده شده و برای تمامی بازه جریان تراکم‌پذیر مادون صوت معتبر هستند. به منظور دستیابی به سایر مجهولات، داده‌های مراجع [1] و [11] همراه با روابط انتقال (33) تا (35) استفاده می‌شوند. از تکنیک‌های برونوی‌بایی یا درون‌بایی، بسته به نیاز، برای بدست آوردن معادلات موردنیاز استفاده می‌شوند.

5-3- توابع اندیسی تراکم‌نایزدیر

بیشتر اشاره شده که نیروهای آبودینامیکی ناپایا در جریان تراکم‌نایزدیر تنها با استفاده از یک تابع اندیسی تعیین می‌گردد و این در حالی است که برای جریان تراکم‌پذیر به چهار تابع نیاز است. به منظور پیاده‌سازی رویکردی یکتا در تعیین بارهای آبودینامیکی برای حل مسائل آبودینامیک می‌توان تقریب جونز از تابع وگنر را به چهار تابع اندیسی تفکیک نمود به نحوی که تغییری در بارهای آبودینامیکی حاصل از دو دیدگاه فوق حاصل نگردد. با استفاده از داده‌های عددی و نمودارهای مراجع [11,4]، به کارگیری روابط (13) تا (16) و نیز توجه به محور دوران و بازوی اعمال گشتاور، می‌توان توابع اندیسی مشابه‌ای در جریان تراکم‌نایزدیر به صورت روابط (36) تا (39) تعریف نمود.

$$\bar{\phi}_{I\alpha}(\tau) = 1 - 0.165e^{-0.0455\tau} - 0.355e^{-0.3\tau} \quad (36)$$

$$\bar{\phi}_{Im}(\tau) = -\frac{1}{4}\bar{\phi}_{I\alpha}(\tau) \quad (37)$$

$$\bar{\phi}_{Iq}(\tau) = \frac{3}{4}\bar{\phi}_{I\alpha}(\tau) \quad (38)$$

$$\bar{\phi}_{Imq}(\tau) = -\frac{3}{16}\bar{\phi}_{I\alpha}(\tau) - \frac{1}{16} \quad (39)$$

که در آن $(\bar{\phi}_{I\alpha}, \bar{\phi}_{Im}, \bar{\phi}_{Iq}, \bar{\phi}_{Imq})$ توابع اندیسی معادل ناشی از تغییر پله واحد به ترتیب در زاویه حمله و نرخ پیچش در لبه حمله برای جریان تراکم‌نایزدیر می‌باشند. همان‌طور که در بخش 4-3 اشاره شد، بیان توابع اندیسی به صورت توابعی با عبارات نمایی مشابه، باعث سهولت و اجتناب از پیچیدگی‌های ناشی از انتقال توابع اندیسی می‌شود. با استفاده از مقدار اولیه، مجانبی و میانی توابع اندیسی ارائه شده با روابط (36) تا (39)، می‌توان توابع اندیسی معادلی برای جریان تراکم‌نایزدیر با عبارات نمایی مشابه با تابع اندیسی ϕ_{ca} در ماخ 0.5 استخراج نمود، که در بخش نتایج با آنها اشاره خواهد شد.

4- توسعه بارهای آبودینامیکی اندیسی دو بعدی

در این بخش فرمولاسیونی مناسب و کارآمد از بارهای آبودینامیکی ناپایا مبتنی بر توابع اندیسی با عبارت‌های نمایی مشابه برای تحلیل‌های آبودینامیک در فضای حالت توسعه داده می‌شود. از سوی دیگر مباحث ارائه شده تا به اینجا که مبتنی بر توسعه آبودینامیک اندیسی ناپایا روی مقاطع دو بعدی بوده است، با استفاده از مجموعه اصلاحاتی شامل به کارگیری تئوری

گسترهای در طراحی مقدماتی استفاده می‌شود. در این تئوری، بال به صورت ترکیبی از چندین جزء (نوار) در امتداد دهانه آن در نظر گرفته می‌شود. ضریب برآ روی هر نوار در امتداد وتر از بال مناسب با زاویه حمله محلی $\alpha(y)$ بوده و در ضمن برآ روی یک نوار اثری روی دیگری ندارد. در شکل پایه‌ای این تئوری، نیروی برآ روی هر نوار مشابه حالتی فرض می‌گردد که نوار بخشی از بال دو بعدی با دهانه نامحدود بوده و از این‌رو، ضمن استفاده از ویژگی‌های مقطعي بالواره از اثرات ريشه و نوك بال صرفه نظر می‌شود. نیروی برآي کل وارد بر يك بال، با انتگرال گيرى از اثر تمامى نوارها تعبيين مى شود.

$$L = \frac{1}{2} \rho_{\infty} U^2 c C_{l_\alpha} \int_0^s \alpha(y) dy \quad (59)$$

در واقعیت، مقدار نیروی برآ در نوك بال به صفر می‌رسد. از این‌رو، لازم است به منظور کاهش نیروی برآ در امتداد دهانه بال و به سمت نوك آن، نیروی برآي حاصل از تئوری نوار اصلاح گردد. این عمل با استفاده از توابع فرضی مدل کننده تغییر شیب منحنی برآ در طول دهانه، از قبیل روابط (60) و (61)، میسر می‌شود [27].

$$C^w_{L_\alpha}(y) = \bar{C}_{L_\alpha} \left[1 - \left(\frac{y}{S} \right)^2 \right] \quad (60)$$

$$C^w_{L_\alpha}(y) = \bar{C}_{L_\alpha} \cos \left(\frac{\pi y}{2S} \right) \quad (61)$$

4- تصحیح شیب منحنی برآ

به منظور لحاظ نمودن اثرات ناشی از تراکم‌پذیری، بال محدود یا سوئیپ می‌توان اصلاحات دیگری نیز بر ضرایب آیروودینامیکی اعمال می‌شود. با افزایش عدد ماخ، تراکم‌پذیری هوا تاثیر بیشتری روی نیروهای آیروودینامیکی داشته و شیب منحنی برآ مطابق با رابطه (62) کاهش می‌یابد [27].

$$C_{l_\alpha}^c = \frac{1}{\sqrt{1 - M^2}} C_{l_\alpha} \quad (62)$$

کاهش سبیت منظری AR نیز بر طبق رابطه (63) منجر به کاهش شیب منحنی برآ در بال با دهانه محدود می‌شود [27].

$$C_{l_\alpha}^{AR} = \frac{C_{l_\alpha}}{1 + C_{l_\alpha}/(\pi AR)} \quad (63)$$

به منظور اصلاح شیب منحنی برآ که هم‌زمان اثرات تراکم‌پذیری و نیز دهانه محدود بال را در بر داشته باشد، از رابطه (64) استفاده می‌شود [28].

$$C_{l_\alpha} = C_{l_\alpha} \frac{AR}{\sqrt{(1 - M^2)AR + 2}} \quad (64)$$

بنابراین، برای تعمیم آیروودینامیک دو بعدی به آیروودینامیک سه بعدی می‌توان از ترکیب یکی روابط (60) تا (61) با رابطه (64) برای بیان شیب منحنی برآ استفاده نمود.

5- اعتبارسنجی و نتایج

5-1- اعتبارسنجی

به دلیل ماهیت مستقل چهار تابع اندیسی توصیف کننده نیروهای آیروودینامیکی و نیز محدودیت داده‌های در دسترس از سایر مراجع لازم است تا صحت و اعتبارسنجی تقریب‌های ارائه شده به طور جامع بررسی شود. بدین منظور، با یکسان‌سازی شرایط و مقیاس داده‌ها، نمودارهای توابع اندیسی توسعه داده شده با نمودارهای موجود در مراجع [21,11,4,1] برای اعداد ماخ مشابه مقایسه می‌شوند. در شکل 2، نمودار تابع اندیسی ϕ_{ca} حاصل از تقریب توسعه داده شده در این مقاله به همراه نمودارهای مراجع [11,1] آورده شده است. لازم به ذکر است، با توجه به بازه نتایج ارائه شده توسط مراجع [1]، بررسی وضعیت همپوشانی مقادیر مجانبی و نیز انطباق کامل نتایج، به

$$\begin{aligned} L(t) &= \frac{C_{L_\alpha} q S}{U} \{ b_{0ca} \dot{w}(t) + 2bb_{0cq} \dot{\alpha}(t) \\ &+ \dot{w}(0) \sum_{j=1}^3 b_{ic\alpha} e^{-\beta_j \frac{U}{b} t} + 2b\dot{\alpha}(0) \sum_{j=1}^3 b_{icq} e^{-\beta_j \frac{U}{b} t} \\ &+ \sum_{j=1}^3 b_{jca} B_{iw} + 2b \sum_{j=1}^3 b_{jcq} B_{ia} \} \end{aligned} \quad (47)$$

$$\begin{aligned} M_{ea}(t) &= \frac{C_{L_\alpha} q Sc}{U} \{ b_{0cm} \dot{w}(t) + 2bb_{0cmq} \dot{\alpha}(t) \\ &+ \dot{w}(0) \sum_{j=1}^3 b_{jcm} e^{-\beta_j \frac{U}{b} t} + 2b\dot{\alpha}(0) \sum_{j=1}^3 b_{jcmq} e^{-\beta_j \frac{U}{b} t} \\ &+ \sum_{j=1}^3 b_{jcm} B_{jw} + 2b \sum_{j=1}^3 b_{jcmq} B_{j\alpha} \} \end{aligned} \quad (48)$$

که در آن معادلات دیفرانسیل مرتبه اول حاکم بر پارامتر B با روابط (49) و (50) داده می‌شوند.

$$\dot{B}_{jw}(t) + \left(\beta_j \frac{U}{b} \right) B_{jw}(t) = \ddot{w}(t) \quad (49)$$

$$\dot{B}_{j\alpha}(t) + \left(\beta_j \frac{U}{b} \right) B_{j\alpha}(t) = \ddot{\alpha}(t) \quad (50)$$

در رویکرد دوم، با جایگذاری (44) در (45) و (46) و اعمال انتگرال گیری جزء به جزء، نمایشی دیگر از بارهای آیروودینامیکی بدست می‌آید.

$$\begin{aligned} L(t) &= \frac{C_{L_\alpha} q S}{U} \{ \dot{h}(t) \phi_{ca}(0) + h(t) \dot{\phi}_{ca}(0) - h(0) \dot{\phi}_{ca}(t) \\ &+ 2b\dot{\alpha}(t) \phi_{cq}(0) + [U\phi_{ca}(0) + 2b\dot{\phi}_{cq}(0)]\alpha(t) \\ &- 2b\alpha(0)\dot{\phi}_{cq}(t) + \sum_{j=1}^3 \lambda_{h1j} B_{1j} + \sum_{j=1}^3 \lambda_{\theta1j} B_{2j} \} \end{aligned} \quad (51)$$

$$\begin{aligned} M_{ea}(t) &= \frac{C_{L_\alpha} q Sc}{U} \{ \dot{h}(t) \phi_{cm}(0) + h(t) \dot{\phi}_{cm}(0) - h(0) \dot{\phi}_{cm}(t) \\ &+ 2b\dot{\alpha}(t) \phi_{cmq}(0) + [U\phi_{cm}(0) + 2b\dot{\phi}_{cmq}(0)]\alpha(t) \\ &- 2b\alpha(0)\dot{\phi}_{cmq}(t) + \sum_{j=1}^3 \lambda_{h2j} B_{1j} + \sum_{j=1}^3 \lambda_{\theta2j} B_{2j} \} \end{aligned} \quad (52)$$

که عبارت‌های تشکیل دهنده آن‌ها با روابط (53) تا (58) داده می‌شوند.

$$\lambda_{h1j} = b_{jca} \left(\beta_j \frac{U}{b} \right)^2 \quad (53)$$

$$\lambda_{\theta1j} = b\beta_j \left(\frac{U}{b} \right)^2 (2b_{jcq}\beta_j - b_{jca}) \quad (54)$$

$$\lambda_{h2j} = b_{jcm} \left(\beta_j \frac{U}{b} \right)^2 \quad (55)$$

$$\lambda_{\theta2j} = b\beta_j \left(\frac{U}{b} \right)^2 (2b_{jcmq}\beta_j - b_{jcm}) \quad (56)$$

$$\dot{B}_{1j}(t) + \left(\beta_j \frac{U}{b} \right) B_{1j}(t) = h(t) \quad (57)$$

$$\dot{B}_{2j}(t) + \left(\beta_j \frac{U}{b} \right) B_{2j}(t) = \alpha(t) \quad (58)$$

این نوع نمایش نیروهای آیروودینامیکی ناپایای ضمن حذف عبارت‌های انتگرالی از روابط (45) و (46)، موجب کارآمدی و سهولت در افزودن آن‌ها به معادلات حاکم بر سازه و در نهایت انتقال معادلات آیروالاستیک حاصله به فضای حالت می‌گردد. در ضمن، به دلیل یکسان‌سازی نمایش توابع اندیسی جریان تراکم‌نپذیر با تراکم‌پذیر، روابط ارائه شده برای توابع محدوده تراکم‌نپذیر تا مادون صوت تراکم‌پذیر معتبر می‌باشد.

5-2- تئوری نواری برای یک بال پیوسته
تشویر نواری به دلیل مدل‌سازی سریع و بازدهی محاسباتی بالا، به طور

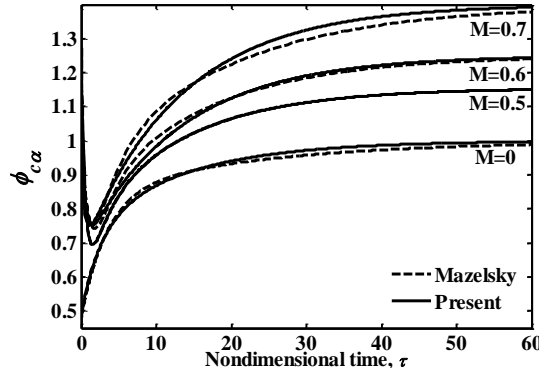


Fig. 5 Comparison of the indicial function $\phi_{c\alpha}$ at various Mach number with Mazelski [11]

شکل 5 مقایسه تابع اندیسی ϕ در اعداد ماخ مختلف باددههای مازلسکی [11]

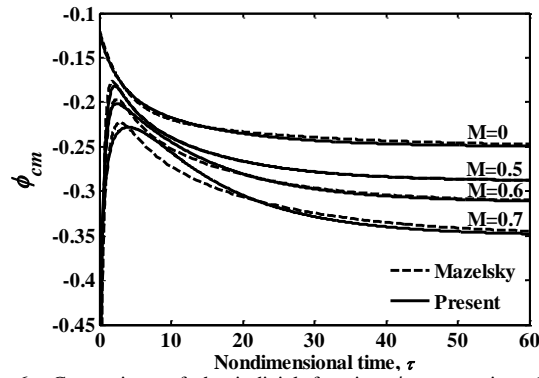


Fig. 6 Comparison of the indicial function ϕ_{cm} at various Mach number with Mazelski

شکل 6 مقایسه تابع اندیسی ϕ_{cm} در اعداد ماخ مختلف باددههای مازلسکی

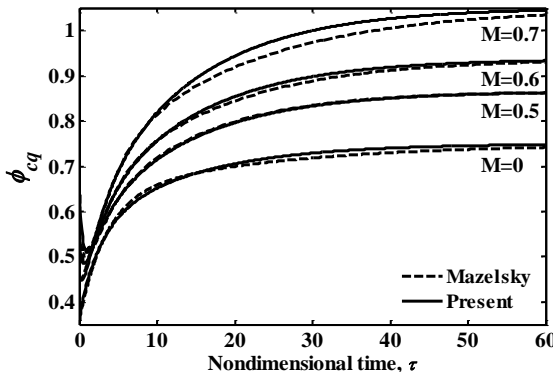


Fig. 7 Comparison of the indicial function ϕ_{cq} at various Mach number with Mazelski

شکل 7 مقایسه تابع اندیسی ϕ_{cq} در اعداد ماخ مختلف باددههای مازلسکی

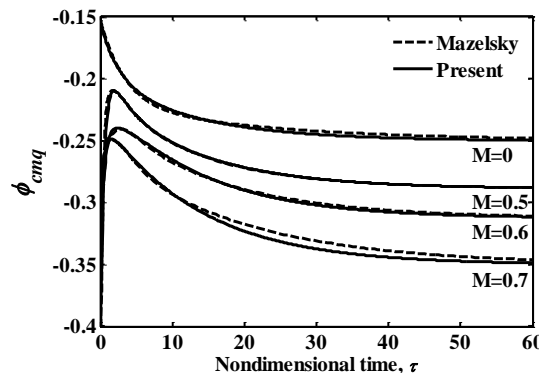


Fig. 8 Comparison of the indicial function ϕ_{cmq} at various Mach number with Mazelski

شکل 8 مقایسه تابع اندیسی ϕ_{cmq} در اعداد ماخ مختلف باددههای مازلسکی

نمودارهای شکل 2 محدود می‌شود. با اینحال به لحاظ کیفی، نمودارها رفتار مشابه‌ای را از خود نشان می‌دهند. به منظور مقایسه نتایج با داده‌های فرسادی و همکاران [21] و نیز مازلسکی [11]، تقریب توابع اندیسی $\phi_{c\alpha}$ در ϕ_{cm} و ϕ_{cq} در τ در شکل‌های 3 و 4 نمایش داده شده‌اند. با توجه به اعداد ماخ 0.5 و 0.7 در شکل‌های 3 و 4 نمایش داده شده‌اند. با توجه به نمودارهای موجود در مقادیر مشابه‌ای از اعداد ماخ، مقایسه بیشتر محدود بودن داده‌های موجود در توابع مازلسکی [11] محدود می‌شود. بدین نتایج به نمودارهای مربوط به چهار تابع اندیسی که با استفاده از داده‌های توسعه داده شده در ماخ‌های صفر، 0.5، 0.6 و 0.7 تقریب زده شده‌اند، در شکل‌های 5 تا 8 با داده‌های مازلسکی به لحاظ کیفی و کمی مقایسه می‌گردد. با توجه به نمودارهای مذکور می‌توان به مطابقت بسیار خوب توابع

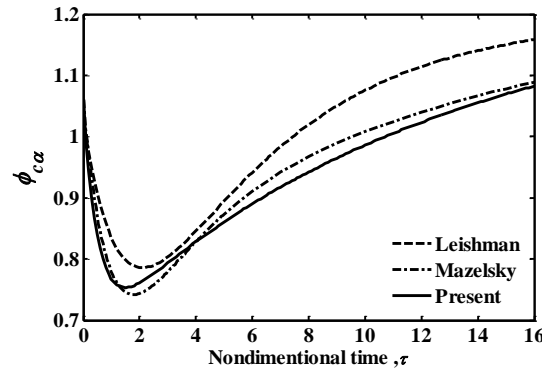


Fig. 2 Comparison of the indicial function $\phi_{c\alpha}$ at Mach number of 0.6 with Leishman [1] and Mazelsky [11]

شکل 2 مقایسه تابع اندیسی $\phi_{c\alpha}$ در ماخ 0.6 با مراجع [11,1]

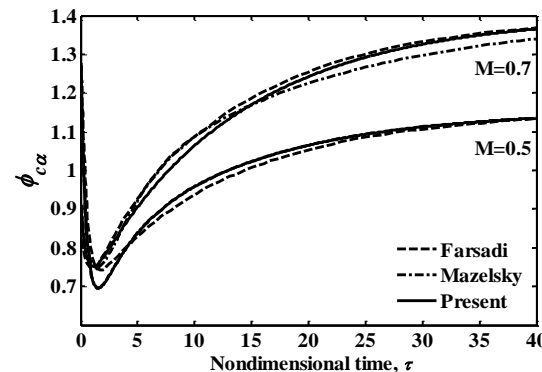


Fig. 3 Comparison of the indicial function $\phi_{c\alpha}$ at Mach number of 0.5 and 0.7 with Farsadi [21] and Mazelsky [11]

شکل 3 مقایسه تابع اندیسی $\phi_{c\alpha}$ در اعداد ماخ 0.5 و 0.6 با مراجع [21,11]

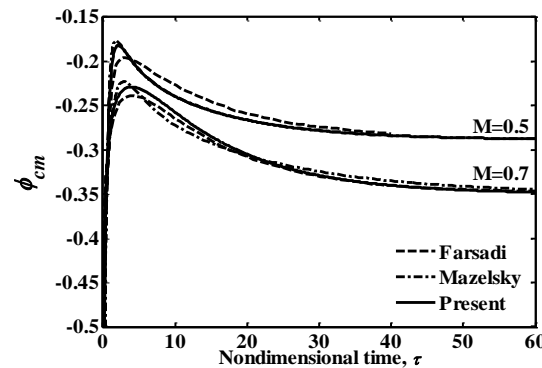


Fig. 4 Comparison of the indicial function ϕ_{cm} at Mach number of 0.5 and 0.7 with Farsadi [21] and Mazelsky [11]

شکل 4 مقایسه تابع اندیسی ϕ_{cm} در ماخ 0.5 و 0.6 با مراجع [21,11]

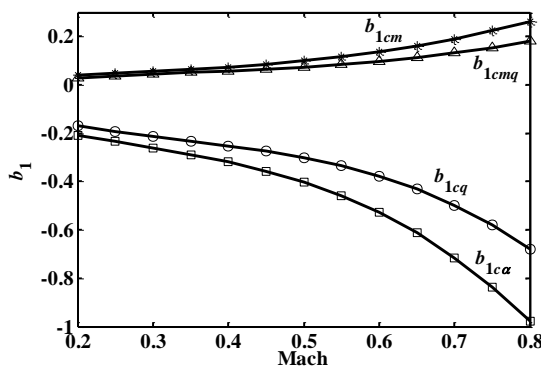


Fig. 10 b_1 Coefficients of the indicial functions due to plunging and pitching at $0.2 \leq M \leq 0.8$

شکل 10 ضرایب b_1 تقریب توابع اندیسی تراکم‌پذیر به واسطه حرکت‌های نوسانی منتقالی و پیچشی در محدوده اعداد ماخ $0.2 \leq M \leq 0.8$

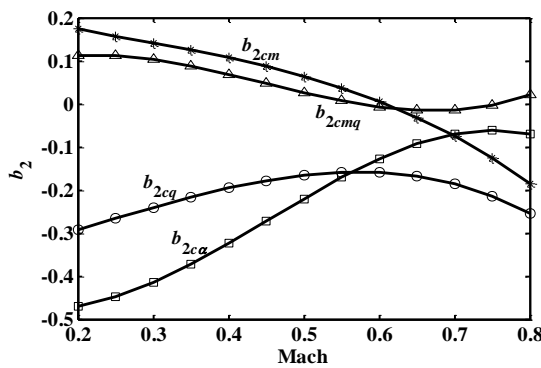


Fig. 11 b_2 Coefficients of the indicial functions due to plunging and pitching at $0.2 \leq M \leq 0.8$

شکل 11 ضرایب b_2 تقریب توابع اندیسی تراکم‌پذیر به واسطه حرکت‌های نوسانی منتقالی و پیچشی در محدوده اعداد ماخ $0.2 \leq M \leq 0.8$

محدوده تراکم‌پذیر مادون صوت را ترسیم نمود. خلاصه‌ای از جمع‌بندی نتایج بدست آمده برای اعداد ماخ محدود و در بازه صفر تا 0.8. توسعه شکل‌های 13 تا 16 نمایش داده شده‌اند.

6- نتیجه‌گیری

در این مقاله، مدلی جدید از بارهای آیرودینامیکی ناپایای با استفاده از مفاهیمی نظری توابع اندیسی، اصل جمع آثار پاسخ و انتگرال دوهامل برای حرکت

جدول 3 ضرایب تقریب زننده برآ و گشتاور اندیسی در ماخ صفر

Table 3 Coefficients for approximating the indicial lift and moment at Mach numbers $M=0.0$

b_3	b_2	b_1	b_0	تابع اندیسی
-0.0247	-0.2274	-0.2679	1	ϕ_{lca}
0.0062	0.0568	0.067	-0.25	ϕ_{lcm}
-0.0185	-0.1706	-0.201	0.75	ϕ_{lcq}
0.0046	0.0426	0.0502	-0.25	ϕ_{lcmq}

جدول 4 ضرایب توانی تقریب زننده برآ و گشتاور اندیسی

Table 4 Exponential coefficients for approximating the indicial lift and moment

β_3	β_2	β_1	β_0	تابع اندیسی
1.890	0.3720	0.0754	0	ϕ_{ca}

اندیسی در ماخ 0.5 پی برد. این نتیجه به دلیل استفاده از توانهای مشابه قابل انتظار است. در سایر اعداد ماخ، همان‌طور که در شکل‌های مذکور نیز قابل رویت می‌باشد، نمودارها دارای مقادیر ابتدا و انتهای مشابهی هستند. اما، در مقادیر زمانی میانی اختلافهایی جزئی مشاهده می‌شود که از جمله دلایل آن می‌توان به رویکرد اتخاذ شده، یعنی استفاده از ضرایب توانی مستقل از عدد ماخ، اشاره نمود.

5- نتایج

با توجه به صحه‌گذاری نتایج تقریب توسعه داده شده از توابع اندیسی تراکم‌پذیر با استفاده از مقایسه نتایج در اعداد ماخ صفر، 0.5، 0.6، 0.7 و 0.8، حال می‌توان تقریب توسعه داده شده مذکور را برای تمامی بازه جریان تراکم‌نایزدیر تا تراکم‌پذیر مادون صوت تعمیم داد. طبق بررسی‌های صورت گرفته در اعداد ماخ کمتر از 0.2، رفتار بسیار نزدیکی از توابع اندیسی تراکم‌پذیر با توابع اندیسی مشابه آنها در حالت تراکم‌نایزدیر مشاهده می‌شود [1]. البته همان‌طور که پیشتر نیز اشاره شد، برخلاف مقادیر نامحدود توسعه اندیسی تراکم‌نایزدیر در شروع حرکت، توابع اندیسی تراکم‌پذیر دارای مقدار محدودی هستند. با اینحال با توجه به داده‌های بدست آمده برای اعداد ماخ کمتر از 0.2، می‌توان از ضرایب توابع اندیسی ایجاد شده در عدد ماخ صفر برای بیان نیروی برآ و گشتاور آیرودینامیکی ناپایای در مسائل مربوط به آیروالاستیسیته استفاده نمود.

در شکل‌های 9 تا 12 ضرایب توابع اندیسی نیروی برآ و گشتاور آیرودینامیکی ناپایای تراکم‌پذیر برای تغییر پله واحد در زاویه حمله و نرخ پیچش، یعنی به ترتیب توابع $\phi_{cmq}(\tau)$, $\phi_{cm}(\tau)$, $\phi_{cq}(\tau)$ و $\phi_{ca}(\tau)$ تعريف شده با رابطه (44)، در محدوده اعداد ماخ $0.2 \leq M \leq 0.8$ به اینحال با توجه به داده‌های بدست آمده برای اعداد ماخ کمتر از 0.2، در توسعه توابع اندیسی تراکم‌نایزدیر دارای صورت نمودارهایی تابع عدد ماخ آورده شده‌اند. همان‌طور که اشاره شد برای اعداد ماخ کمتر از 0.2، می‌توان از توابع اندیسی تراکم‌نایزدیر برای استخراج بارهای آیرودینامیکی ناپایای استفاده نمود. بدین منظور، ضرایب مربوط به توسعه اندیسی تراکم‌نایزدیر در جدول 3 آورده شده‌اند.

یادآور می‌شود که در توسعه توابع اندیسی در هر دو جریان تراکم‌نایزدیر و تراکم‌پذیر زیرصوت از توانهای نمایی مستقل از عدد ماخ و مشابه با توانهای تابع اندیسی برآ به واسطه تغییر پله واحد در زاویه حمله برای عدد ماخ 0.5، 0.6 و 0.7 ایجاد شده است. پس از استخراج ضرایب توابع اندیسی که بخشی از آنها در قالب جدول‌های 5 و 6 ارائه شده است، می‌توان با استفاده از رابطه (44) توسعه اندیسی برآ و گشتاور آیرودینامیکی حول لبه حمله در تمامی

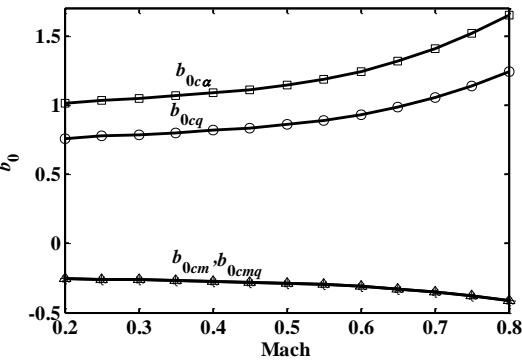


Fig. 9 b_0 Coefficients of the indicial functions due to plunging and pitching at $0.2 \leq M \leq 0.8$

شکل 9 ضرایب b_0 تقریب توابع اندیسی تراکم‌پذیر به واسطه حرکت‌های نوسانی منتقالی و پیچشی در محدوده اعداد ماخ $0.2 \leq M \leq 0.8$

جدول ۵ ضرایب تقریب زننده توابع برآ و گشتاور اندیسی به واسطه تغییر ناگهانی زاویه حمله در چند عدد ماخ تراکم‌پذیر مختلف

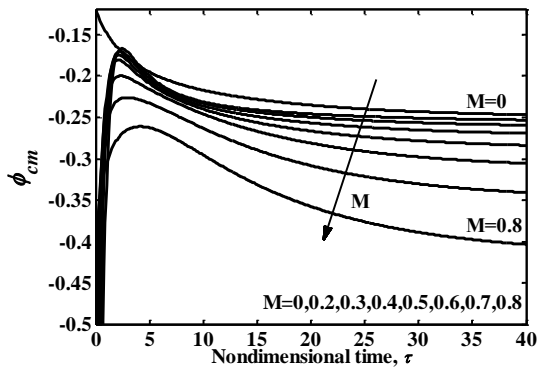
Table 5 Coefficients for approximating the indicial lift and moment functions due to a sudden change in angle of attack for several subsonic Mach numbers

ضرایب تابع اندیسی ϕ_{cm}				ضرایب تابع اندیسی ϕ_{ca}				عدد ماخ
b_3	b_2	b_1	b_0	b_3	b_2	b_1	b_0	
0.0062	0.0568	0.0670	-0.2500	-0.0247	-0.2274	-0.2679	1.0000	0.0
-1.5558	0.1808	0.0386	-0.2552	2.8569	-0.4820	-0.2124	1.0206	0.2
-0.9883	0.1325	0.0569	-0.2621	1.7286	-0.3982	-0.2566	1.0483	0.3
-0.7014	0.1049	0.0735	-0.2728	1.1461	-0.3316	-0.3140	1.0911	0.4
-0.5195	0.0721	0.0995	-0.2887	0.7733	-0.2493	-0.4055	1.1547	0.5
-0.3574	-0.0006	0.1400	-0.3125	0.4396	-0.0836	-0.5450	1.2500	0.6
-0.2182	-0.0728	0.1863	-0.3501	0.3067	-0.1080	-0.6896	1.4003	0.7
-0.0661	-0.1798	0.2646	-0.4167	0.1820	-0.0546	-0.9982	1.6667	0.8

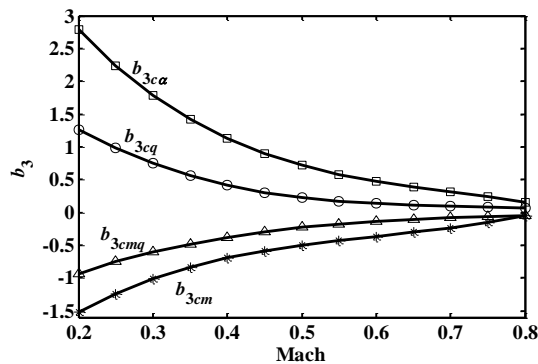
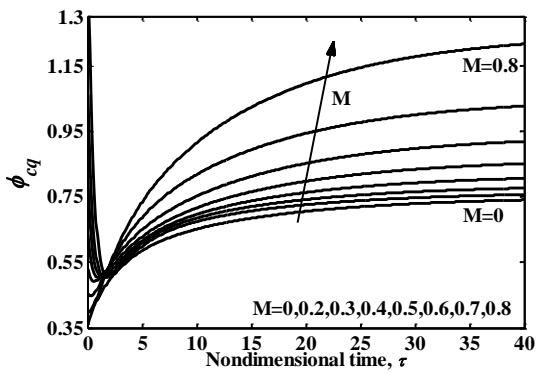
جدول ۶ ضرایب تقریب زننده توابع برآ و گشتاور اندیسی به واسطه تغییر ناگهانی نرخ پیچش یک بالواره تحت دوران حول لبه حمله در اعداد ماخ مختلف

Table 6 Coefficients for approximating the indicial lift and moment functions due to a sudden change in pitching rate for an airfoil rotating about its leading edge for several subsonic Mach numbers

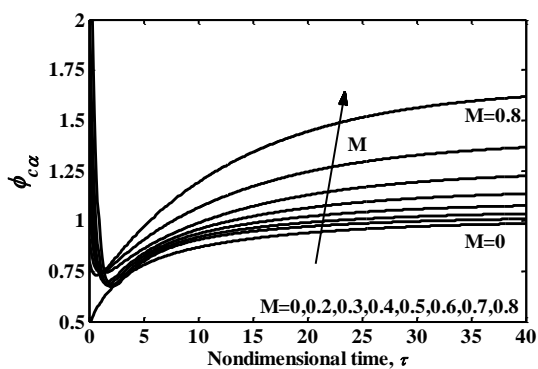
ضرایب تابع اندیسی ϕ_{cmq}				ضرایب تابع اندیسی ϕ_{ca}				عدد ماخ
b_3	b_2	b_1	b_0	b_3	b_2	b_1	b_0	
0.0046	0.0426	0.0502	-0.2500	-0.0185	-0.1706	-0.2010	0.7500	0.0
-0.9570	0.1183	0.0328	-0.2552	1.2907	-0.2874	-0.1772	0.7655	0.2
-0.5827	0.0950	0.0423	-0.2621	0.7290	-0.2510	-0.2032	0.7862	0.3
-0.3871	0.0748	0.0545	-0.2728	0.4266	-0.1996	-0.2495	0.8183	0.4
-0.2533	0.0409	0.0767	-0.2887	0.2400	-0.1581	-0.3113	0.8660	0.5
-0.1152	-0.0282	0.1023	-0.3125	0.1285	-0.1516	-0.3839	0.9375	0.6
-0.0716	-0.0024	0.1209	-0.3501	0.0950	-0.2097	-0.4808	1.0502	0.7
-0.0506	0.0088	0.1931	-0.4167	0.0813	-0.2350	-0.6984	1.2500	0.8

**Fig. 14** The indicial moment functions due to a sudden change in angle of attack at various Mach number

شکل ۱۴ توابع اندیسی گشتاور ناشی از تغییر ناگهانی در زاویه حمله برای اعداد ماخ مختلف

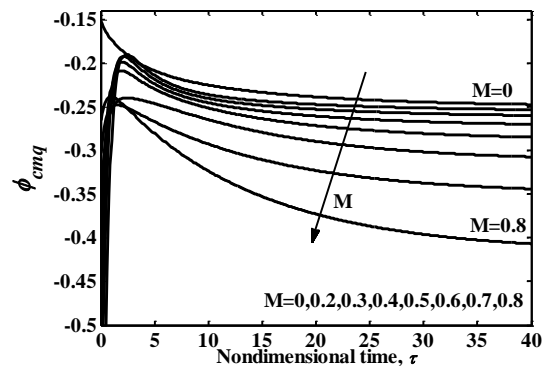
**Fig. 12** b_3 Coefficients of the indicial functions due to plunging and pitching at $0.2 \leq M \leq 0.8$ شکل ۱۲ ضرایب b_3 تقریب توابع اندیسی تراکم‌پذیر به واسطه حرکت‌های نوسانی انتقالی و پیچشی در محدوده اعداد ماخ $0.2 \leq M \leq 0.8$ **Fig. 15** The indicial lift functions due to a sudden change in pitching rate at various Mach number

شکل ۱۵ توابع اندیسی برآ ناشی از تغییر ناگهانی در نرخ پیچش برای اعداد ماخ مختلف

**Fig. 13** The indicial lift functions due to a sudden change in angle of attack at various Mach number

شکل ۱۳ توابع اندیسی برآ ناشی از تغییر ناگهانی در زاویه حمله برای اعداد ماخ مختلف

- unsteady motions of wings and wing-tail combinations, *NACA Technical Note*, No. 1188, 1954.
- [3] H. Lomax, *Indicial aerodynamics*, AGARD Manual of Aeroelasticity, Pt. II, Chapter 6, Nov. 1960.
- [4] R. L. Bisplinghoff, H. Ashley, R. L. Halfman, *Aeroelasticity*, pp. 323-353, New York: Dover Publications, 1996.
- [5] G. J. Leishman, *Principles of helicopter aerodynamics*, pp. 446-476 New York: Cambridge university press, 2006.
- [6] J. Leishman, Indicial lift approximations for two-dimensional subsonic flow as obtained from oscillatory measurements, *Journal of Aircraft*, Vol. 30, No. 3, pp. 340-351, 1993.
- [7] P. Marzocca, L. Librescu, D. Kim, I. Lee, S. Schober, Development of an indicial function approach for the two-dimensional incompressible/compressible aerodynamic load modelling, *Proceedings of the Institution of Mechanical Engineers, Part G: Journal of Aerospace Engineering*, Vol. 221, No. 3, pp. 453-463, 2007.
- [8] Z. Qin, *Vibration and Aeroelasticity of Advanced Aircraft Wings Modeled as Thin-Walled Beams-Dynamics, Stability and Control*, PhD Thesis, Virginia Polytechnic Institute , 2001.
- [9] B. Mazelsky, Numerical determination of indicial lift of a two-dimensional sinking airfoil at subsonic Mach numbers from oscillatory lift coefficients with calculations for Mach number 0.7, *NACA Technical Note*, No. 2562, 1951.
- [10] B. Mazelsky, Determination of Indicial Lift and Moment of a Two-Dimensional Pitching Airfoil at Subsonic Mach Numbers From Oscillatory Coefficients With Numerical Calculations for a Mach Number of 0.7, *NACA Technical Note*, No. 2613, 1952.
- [11] Mazelsky, J. A. Drischler, Numerical determination of indicial lift and moment functions for a two-dimensional sinking and pitching airfoil at Mach numbers 0.5 and 0.6, *NACA Technical Note*, No. 2739, 1952.
- [12] E. H. Dowell, A simple method for converting frequency domain aerodynamics to the time domain, *NASA Technical Memorandum*, No. 81844, 1980.
- [13] J. Leishman, K. Nguyen, State-space representation of unsteady airfoil behavior, *AIAA journal*, Vol. 28, No. 5, pp.836-844, 1990.
- [14] J. G. Leishman, Unsteady lift of a flapped airfoil by indicial concepts, *Journal of Aircraft*, Vol. 31, No. 2, pp. 288-297, 1994.
- [15] P. Marzocca, L. Librescu, G. Chiocchia, Unsteady aerodynamics in various flight speed regimes for flutter/dynamic response analyses, *Proceedings of 18th AIAA Applied Aerodynamic Conference*, Denver, Colorado, pp. 491-501, August 14-17, 2000
- [16] P. Marzocca, L. Librescu, G. Chiocchia, Aeroelastic response of a 2-D airfoil in a compressible flow field and exposed to blast loading, *Aerospace Science and Technology*, Vol. 6, No. 4, pp. 259-272, 2002.
- [17] P. Marzocca, L. Librescu, G. Chiocchia, Aeroelastic response of 2-D lifting surfaces to gust and arbitrary explosive loading signatures, *International Journal of Impact Engineering*, Vol. 25, No. 1, pp. 41-65, 2001.
- [18] P. Marzocca, L. Librescu, D.-H. Kim, I. Lee, , Linear/nonlinear unsteady aerodynamic modeling of 2-D lifting surfaces via a combined CFD/analytical approach, *Proceedings of the 44th AIAA/ASME/ASCE/AHS Structures, Structural Dynamics, and Materials Conference*, Norfolk, Virginia, April 7-10, 2003
- [19] V. Parameswaran, J. D. Baeder, Indicial aerodynamics in compressible flow-direct computational fluid dynamic calculations, *Journal of Aircraft*, Vol. 34, No. 1, pp. 131-133, 1997.
- [20] I. F. Miranda, P. A. de Oliveira Soviero, Indicial response of thin in a compressible subsonic flow, *Proceedings of 18th International congress of Mechanical Engineering*, Ouro Preto, MG, November 6-11, 2005.
- [21] T. Farsadi, J. Javanshir, Expansion of Indicial Function Approximations for 2-D Subsonic Compressible Aerodynamic Loads, *Proceedings of the ASME 2012 International Mechanical Engineering Congress and Exposition*, Houston, Texas, pp. 519-528, November 9-15, 2012.
- [22] S. Sina, T. Farsadi, H. Haddadpour, Aeroelastic Stability and Response of Composite Swept Wings in Subsonic Flow Using Indicial Aerodynamics, *Journal of Vibration and Acoustics*, Vol. 135, No. 5, pp. 051019, 2013.
- [23] R. Firouz-Abadi, A. Askarian, P. Zarifian, Effect of thrust on the aeroelastic instability of a composite swept wing with two engines in subsonic compressible flow, *Journal of Fluids and Structures*, Vol. 36, pp. 18-31, 2013.
- [24] S. Shams, M. Sadr, H. Haddadpour, An efficient method for nonlinear aeroelasticity of slender wings, *Nonlinear Dynamics*, Vol. 67, No. 1, pp. 659-681, 2012.
- [25] S. L. Brunton, C. W. Rowley, Empirical state-space representations for Theodorsen's lift model, *Journal of Fluids and Structures*, Volume 38, pp. 174-186, 2013.
- [26] H. Lomax, Two-and three-dimensional unsteady lift problems in high-speed flight, *NACA Technical Note*, No. 1077, 1952.
- [27] J. R. Wright, J. E. Cooper, *Introduction to aircraft aeroelasticity and loads*, pp. 76-80, England: John Wiley & Sons, 2008.
- [28] Ü. Gülcü, *Fundamentals of modern unsteady aerodynamics*, pp. 8-11, Berlin: Springer, 2015.



شکل ۱۶ توابع اندیسی گشتاور ناشی از تغییر ناگهانی در نرخ پیچش برای اعداد ماخ مختلف

دلخواه یک بالواره در حریان تراکم‌نابذیر و تراکم‌پذیر مادون صوت ارائه شده است. با استفاده از عبارت‌های تحلیلی و داده‌های عددی موجود، تقریب‌هایی نوین از توابع اندیسی برای تمامی محدوده حریان زیر صوت محاسبه شده‌اند که علاوه بر تابعیت پیوسته از عدد ماخ دارای شکل مناسبی برای انتقال به سایر نقاط روحی بالواره می‌باشند. توابع اندیسی توسعه داده شده در بردارنده چهار ضریب تابع عدد ماخ و سه ثابت نمایی می‌باشند. از آنجاییکه برای توصیف کامل بارهای آیرودینامیکی ناپایا از چهار تابع اندیسی استفاده می‌شود، بنابراین تعداد ضرایب تابع عدد ماخ موردنیاز نسبت به روش‌های متداول از 28 ضریب به 16 ضریب کاهش یافته‌اند. از مزایای قابل توجه توابع اندیسی ایجاد شده، می‌توان به مستقل بودن ضرایب عبارت‌های نمایی آنها از عدد ماخ و در نتیجه سهولت انتقال توابع اندیسی به مرکز دوران دلخواه روی بالواره، در دسترس بودن آنها در تمامی بازه عدد ماخ صفر تا ماخ 0.8 و نیز ارائه نمایشی مناسب و یکپارچه از روابط آیرودینامیکی برای کوپل شدن به مدل سازه در تمامی محدوده زیر صوت (تراکم‌پذیر/ناپذیر) اشاره نمود. با توجه به ضرورت بیان تقریبی از تابع و گنر مشابه با توابع اندیسی تراکم‌پذیر، چهار تابع اندیسی معادل با تابع اندیسی توصیف شده با تقریب جونز استخراج شده‌اند. از سوی دیگر، رویکرد اتخاذ شده در توسعه توابع اندیسی منجر به بارهای آیرودینامیکی ناپایا با فرمولاسیونی یکتا برای حریان‌های تراکم‌نابذیر و تراکم‌پذیر مادون صوت در حوزه زمان و فرکانس شده است که در تحلیل‌های پاسخ و نیز مباحث پایداری مسائل آیروالاستیک به ویژه در فضای حالت، مفید و بسیار کارآمد می‌باشند. با توجه به نتایج حاصل نشان داده شد که برای اعداد ماخ کمتر از 0.2 می‌توان از توابع اندیسی تراکم‌نابذیر با دقت مناسبی برای مدل‌سازی حریان تراکم‌پذیر و تعیین بارهای آیرودینامیکی ناپایا استفاده نمود. به علاوه، گرچه بارهای آیرودینامیکی مذکور برای سطوح برآزادی دو بعدی توسعه داده شده‌اند، اما با استفاده از تئوری نواری و اعمال اصلاحات در شب منحنی برآ، اثرات بال سه بعدی با نسبت منظری محدود در مدل بدست آمده لحاظ شده است.

7- مراجع

- [1] J. Leishman, Validation of approximate indicial aerodynamic functions for two-dimensional subsonic flow, *Journal of Aircraft*, Vol. 25, No. 10, pp. 914-922, 1988.
- [2] M. Tobak, On the use of the indicial-function concept in the analysis of